

مقالات‌های پژوهشی

- | | |
|--|--|
| بررسی تأثیر آمادگی روده‌ای بر میزان خونریزی حین عمل در بیماران فیوژن مهره‌ای کمر ۱۰۴۹ | مجید رضوانی، رضا عباسی متجزی |
| طراحی بیوآقورماتیک برای تولید واکسن پیتیدی VEGF-A (Vascular Endothelial Growth Factor-A) انسانی و ارزیابی آنتی‌بادی پلی‌کلواتال اختصاصی آن در موش ۱۰۵۴ | فائزه سلطان‌پور غریب‌دوستی، غلامعلی کاردز، پنهانه‌فضلی دلشداد، رضا فلک، مژده گنجعلی خانی حاکمی، علیرضا عنایی |
| تعیین Computed Tomography Scan (CTDI _W) Weighted Computed Tomography Dose Index آنژیوگرافی عروق کرونری در دستگاه‌های CT Scan ۶۴ قطعه‌ای ۱۰۶۰ | محمدباقر توکلی، ریحانه فرجی، امیر سجادیه، سلمان جعفری |
| مقایسه‌ی شیوع یافته‌های آندوسکوپی در بیماران همودیالیز با دیالیز صفاقی در افراد کاندیدای پیوند کلیه ۱۰۶۶ | افsoon امامی نائینی، مژگان مرتضوی، آذین آذربایجانی، بابک حسین‌زاده، سید محسن حسینی، پیمان ادبی |
| بررسی عود پنوموتوراکس در مبتلایان به پنوموتوراکس خود به خودی تحت درمان با Slurry Tetracycline Pleurodesis ۱۰۷۱ | محسن کلام‌دوزان، سید مظفر هاشمی، سیمین شکرالهی |

Original Articles

- | | |
|--|--|
| A Study on the Effects of Bowel Preparation on the Rate of Perioperative Bleeding in the Patients Undergone Lumbar Fusion Operation 1053 | Majid Rezvani, Reza Abbasi-Monjazi |
| Bioinformatic Designing for Producing Vaccine Peptide of Human Vascular Endothelial Growth Factor (VEGF-A), and Evaluation of Polyclonal Antibodies in Mice 1059 | Faezeh Soltanpour-Gharibdousti, Gholam Ali Kardar, Banafsheh Fazeli-Delshad, Reza Falak, Mazdak Ganjalikhani-Hakemi, Alireza Andalib |
| Determination of the Weighted Computed Tomography Dose Index in Coronary Multidetector Computed Tomography Angiography 1065 | Mohammad-Bagher Tavakoli, Reihaneh Faraji, Amir Sajjadieh, Salman Jafari |
| Comparison of Endoscopic Findings in Patients on Hemodialysis (HD) and Peritoneal Dialysis (PD) Waiting for Kidney Transplantation 1070 | Afsoon Emami-Naini, Mojgan Mortazavi, Azin Azarbeyjani, Babak Hoseinzadeh, Seyed Mohsen Hosseini, Peyman Adibi |
| Evaluation of Pneumothorax Recurrence in Patients with Spontaneous Pneumothorax Treated with Slurry Pleurodesis with Tetracycline 1076 | Mohsen Kolahdouzan, Sayed Mozaffar Hashemi, Simin Shokrollahi |



محله دانشکده پزشکی اصفهان

سال سی و چارم، شماره (۳۹۸)، هفته دوم آبان ماه ۱۳۹۵

صاحب امتیاز:

دانشگاه علوم پزشکی و خدمات بهداشتی-درمانی استان اصفهان

مدیر مسؤول: دکتر منصور شعلهور
سردبیر افتخاری: دکتر رویا کلیشادی
سردبیر: دکتر مجید برکتین

معاون سردبیر: دکتر مریم راد احمدی

امور نشر:

(ویراستاری، صفحه‌آرایی، بازبینی، طراحی، چاپ و
پشتیبانی آنلاین)

انشارات فروزانگان راداندیش

Email: farapublications@gmail.com
http://farapub.com
تلفن: ۰۳۱-۳۲۲۲۴۳۳۵
دورنگار: ۰۳۱-۳۲۲۲۴۳۸۲
تیراژ: ۵۰۰ نسخه

ناشر:

انتشارات دانشگاه علوم پزشکی اصفهان

نشانی: اصفهان، خیابان هزار جریب، دانشگاه علوم پزشکی اصفهان

Email: publications@mui.ac.ir

دفتر مجله: دانشکده پزشکی
صندوق پستی: ۸۱۷۴۴/۱۷۶

مسئول دفتر: گلنazar رجبی

تلفن: ۰۳۱-۳۷۹۲۲۲۹۱

Email: jims@med.mui.ac.ir

http://www.journals.mui.ac.ir/jims

وب سایت مجله:

این مجله در نمایه‌های بین‌المللی زیر در دسترس قرار دارد.

- | | |
|---|--|
| ■ Scopus | ■ Google Scholar |
| ■ Chemical Abstracts | ■ Index Copernicus |
| ■ Islamic World Science Citation Center (ISC) | ■ Directory of Open Access Journal (DOAJ) |
| ■ Academic Search Complete EBSCO Publishing databases | ■ Index Academicus |
| ■ WHO/EMRO/Index Medicus | ■ Scientific Information Database (www.sid.ir) |
| | ■ www.iranmedex.com |

کمی رایت: چاپ مطالب مندرج در این مجله به شرط ذکر منبع مجله بالمانع است.

تصاویر رنگی مقالات و کلیپ‌های ویدئویی بر روی وب سایت مجله قبل دسترسی می‌باشند

اعضای شورای نویسندگان مجله دانشکده پزشکی اصفهان (به ترتیب حروف الفبا)

نام و نام خانوادگی	مرتبه علمی
۱- دکتر محمد رضا اخلاقی	دانشیار، متخصص چشم، فلوشیپ ویتره و رتین، دانشگاه علوم پزشکی اصفهان، اصفهان، ایران
۲- دکتر علی اخوان	استادیار، متخصص رادیوتراپی، دانشگاه علوم پزشکی اصفهان، اصفهان، ایران
۳- دکتر ابراهیم اسفندیاری	استاد، دکترای تخصصی علوم تشریحی، دانشگاه علوم پزشکی اصفهان، اصفهان، ایران
۴- دکتر فرامرز اسماعیل بیگی	استاد، فوق تخصص غدد، دانشکده پزشکی، کالیفرنیا، آمریکا
۵- دکتر احمد اسماعیل زاده	استاد، دکترای تخصصی تغذیه، دانشگاه علوم پزشکی تهران، تهران، ایران
۶- دکتر افسون امامی	دانشیار، فوق تخصص نفروЛОژی، دانشگاه علوم پزشکی اصفهان، اصفهان، ایران
۷- دکتر شاهین امامی	گروه بیوشیمی، بیمارستان سن آنتونیو، پاریس، فرانسه
۸- دکتر بابک امرا	استاد، فوق تخصص رید، دانشگاه علوم پزشکی اصفهان، اصفهان، ایران
۹- دکتر رضا امین	استاد، متخصص بیماری‌های کودکان، فوق تخصص بیماری‌های ایمونولوژی و آرژی کودکان، دانشگاه علوم پزشکی شیراز، شیراز، ایران
۱۰- دکتر فربیا ایرجی	استاد، متخصص بیماری‌های پوست، مرکز تحقیقات پوست و لیشمایبیز، کانادا
۱۱- دکتر کن باست	دانشیار، دکترای تخصصی روانشناسی، دانشگاه علوم پزشکی اصفهان، اصفهان، ایران
۱۲- دکتر رضا باقریان سراروودی	استاد، متخصص روانپزشکی، فلوشیپ نوروسایکیاتری، دانشگاه علوم پزشکی اصفهان، اصفهان، ایران
۱۳- دکتر مجید برکتین	دکترای تخصصی زیست شناسی سلولی و ژنتیک، دانشگاه اراسموس، روتردام، هلند
۱۴- دکتر فرزین پور فرزاد	استاد، متخصص قلب و عروق، دانشگاه علوم پزشکی اصفهان، اصفهان، ایران
۱۵- دکتر مسعود پورمقدس	استاد، متخصص مغز و اعصاب، فلوشیپ بیماری‌های حرکتی، دانشگاه علوم پزشکی اصفهان، اصفهان، ایران
۱۶- دکتر احمد چتساز	استاد، متخصص رادیولوژی، فلوشیپ رادیولوژی مغز و اعصاب و کودکان، دانشگاه علوم پزشکی اصفهان، اصفهان، ایران
۱۷- دکتر علی حکمت نیا	دانشیار، دکترای تخصصی ژنتیک و بیولوژی مولکولی، دانشگاه علوم پزشکی اصفهان، اصفهان، ایران
۱۸- دکتر سید مرتضی حیدری	دانشیار، متخصص زنان و زایمان، دانشگاه علوم پزشکی اصفهان، اصفهان، ایران
۱۹- دکتر مجید خیرالله‌ی	دانشیار، دکترای تخصصی فیزیولوژی، دانشگاه علوم پزشکی اصفهان، اصفهان، ایران
۲۰- دکتر بهناز خانی	استاد، متخصص چشم، فلوشیپ ویتره و رتین، دانشگاه علوم پزشکی اصفهان، اصفهان، ایران
۲۱- دکتر مریم راداحمدی	استادیار، دکترای اجتماعی، دانشگاه علوم پزشکی اصفهان، اصفهان، ایران
۲۲- دکتر حسن رزمجو	استاد، متخصص چشم، فلوشیپ ویتره و رتین، دانشگاه علوم پزشکی شهدی بهشتی، تهران، ایران
۲۳- دکتر رضا روزبهانی	دانشیار، دکترای تخصصی فیزیولوژی، دانشگاه علوم پزشکی اصفهان، اصفهان، ایران
۲۴- دکتر مسعود سهیلیان	استاد، متخصص قلب و عروق، دانشگاه علوم پزشکی اصفهان، اصفهان، ایران
۲۵- دکتر محمد رضا شریفی	استادیار، دکترای تخصصی ژنتیک، دانشگاه علوم پزشکی اصفهان، اصفهان، ایران
۲۶- دکتر منصور شعلهور	دانشیار، دکترای تخصصی جراحی مغز و اعصاب، دانشگاه علوم پزشکی اصفهان، اصفهان، ایران
۲۷- دکتر رسول صالحی	دانشیار، متخصص بیوشیمی بالینی، دانشگاه تورنتو، تورنتو، کانادا
۲۸- دکتر مسیح صبوری	استاد، متخصص پاتولوژی، دانشگاه لویس ویل، آمریکا
۲۹- دکتر محمد رضا صفوفی	دانشیار، متخصص پزشکی اجتماعی، دانشگاه علوم پزشکی اصفهان، اصفهان، ایران
۳۰- دکتر خسرو عادلی	استاد، متخصص بیماری‌های کودکان، دانشگاه علوم پزشکی اصفهان، اصفهان، ایران
۳۱- دکتر سعید عندیلیب جرتانی	دانشیار، متخصص قلب و عروق، دانشگاه علوم پزشکی اصفهان، اصفهان، ایران
۳۲- دکتر زیبا فرجزادگان	دانشیار، متخصص آسیب شناسی پزشکی، دانشگاه علوم پزشکی اصفهان، اصفهان، ایران
۳۳- دکتر رویا کلیشادی	استاد، متخصص آسیب شناسی پزشکی، دانشگاه علوم پزشکی تهران، تهران، ایران
۳۴- دکتر جعفر گلشاهی	دانشیار، دکترای تخصصی چشم، دانشگاه علوم پزشکی اصفهان، اصفهان، ایران
۳۵- دکتر عزیر گهری	دانشیار، دکترای تخصصی علوم تشریحی، دانشگاه علوم پزشکی اصفهان، اصفهان، ایران
۳۶- دکتر پروین محزونی	دانشیار، دکترای تخصصی اپدیمیولوژی و آمار زیستی، دانشگاه علوم پزشکی اصفهان، اصفهان، ایران
۳۷- دکتر سید مهدی مدرس	دانشیار، دکترای تخصصی غدد داخلي، مرکز تحقیقات غدد و متابولیسم، امریکا
۳۸- دکتر محمد مردانی	دانشیار، دکترای تخصصی فیزیوتراپی، جرجیا، آمریکا
۳۹- دکتر اتیه مغیثی	دانشیار، متخصص گوش و حلق و بینی، دانشگاه علوم پزشکی تهران، تهران، ایران
۴۰- دکتر مرjan منصوریان	
۴۱- دکتر محمد رضا نوربخش	
۴۲- دکتر مصطفی هاشمی	



راهنمای نگارش و ارسال مقاله علمی - پژوهشی

مجله علمی - پژوهشی دانشکده پزشکی اصفهان، در SCOPUS نمایه شده و به صورت ماهنامه، تحت حمایت دانشگاه علوم پزشکی اصفهان منتشر می‌گردد. این مجله اقدام به انتشار مقالات علمی در زمینه پژوهش‌های علوم پزشکی (پایه و بالینی) و رشته‌های وابسته به آن می‌نماید. مقالاتی در این مجله پذیرفته می‌شوند که علمی - پژوهشی بوده و پیش از این در جای دیگری منتشر نشده و یا حتی به طور هم‌زمان به مجلات دیگر ارسال نگردیده باشند. این مجله مقالات به زبان فارسی شامل انواع پژوهشی اصیل، مروری، گزارش موردی، مقالات کوتاه، مقالات دارای امتیاز بازآموزی و نامه به سردبیر را منتشر می‌نماید و بر روی وب سایت مجله به آدرس آن <http://jims.mui.ac.ir> قرار می‌دهد. مقالات ارسالی باید در فرمت پیشنهادی مجله ارسال گردند و به دست نوشه‌هایی که در خارج از فرمت ذکر شده در راهنمای نویسنده‌گان ارسال گردند ترتیب اثر داده نخواهد شد.

هیأت تحریریه پس از دریافت مقالات اقدام به بررسی مقاله از لحاظ ساختاری و موضوعی می‌نماید و چنانچه مقاله در بررسی اولیه مورد تأیید باشد، برای داوری ارسال می‌شود. زمان فرایند داوری (از دریافت تا پذیرش نهایی آن) ۳ ماه و در صورت تقاضا جهت بررسی سریع تر با شرایط ذکر شده در راهنمای نویسنده‌گان ۲۰-۲۵ روز می‌باشد. لازم به ذکر است داوری و انتشار مقاله در این هفته نامه مستلزم پرداخت هزینه است. لذا پس از انجام مراحل داوری و پذیرش مقاله و قبل از صدور نامه پذیرش، لازم است نویسنده‌گان محترم فرایند مالی را تکمیل نمایند.

نحوه ارسال دست نوشه‌ها در سامانه

نویسنده‌گان محترم پس از آماده سازی دست نوشه مطابق راهنمای نویسنده‌گان، از طریق ثبت نام (Registration) در سامانه الکترونیک مجله دانشکده پزشکی اصفهان به آدرس <http://jims.mui.ac.ir>، می‌توانند وارد صفحه شخصی خود شده و تمامی بخش‌ها را تکمیل و دست نوشه را ارسال نمایند.

توجه به نکات زیر در ارسال مقاله ضروری است:

- ارسال مقاله منحصر از طریق ثبت نام در سامانه الکترونیک مجله دانشکده پزشکی انجام می‌شود. لازم است فقط نویسنده مسؤول اقدام به سائبیت مقاله نماید و مقالاتی که توسط سایر نویسنده‌گان یا اشخاص دیگر سائبیت شوند مورد بررسی قرار نخواهد گرفت.

- نویسنده‌ای که برای بار دوم اقدام به ارسال مقاله اصلاح شده خود می‌نماید، حتماً باید از طریق صفحه شخصی قبلی خود اقدام نموده و به هیچ عنوان دوباره به عنوان کاربر جدید و با ایمیل جدید در سامانه ثبت نام نکند.

- وارد کردن اسمی تمامی نویسنده‌گان در سامانه و در محل مربوط به وارد کردن اسمی نویسنده‌گان مقاله، الزامی است.

- پس از ارسال مقاله، تغییر اسمی نویسنده‌گان امکان‌پذیر نمی‌باشد.

- فایل‌هایی که نویسنده در مرحله اولیه ارسال می‌کند شامل: (۱) فایل Word صفحه عنوان (۲) فایل Word دست نوشه، (۳) فرم تعهدنامه، (۴) فرم مشخصات کامل نویسنده‌گان (Cover letter) است که به ترتیب باستی آپلود گردد.

- نویسنده‌گان در قسمت ارسال فایل‌ها، با ارسال یک فایل تعهد نامه که به امضاه همه نویسنده‌گان رسیده است، حق انتشار مقاله را به مجله دانشکده پزشکی اصفهان واگذار می‌نمایند. در غیر این صورت مقاله در روند داوری قرار نخواهد گرفت.

- مقالات ارسالی باید دارای فایل مجزا (Cover letter) شامل یک نامه خطاب به سردبیر حاوی عنوان مقاله، اسم، آدرس و ایمیل نویسنده مسؤول، اسمی و ایمیل سایر نویسنده‌گان باشد. در این نامه باستی به صراحة اعلام گردد که دست نوشه در مجلات دیگر چاپ نشده است یا هم‌زمان در حال بررسی نمی‌باشد.

- در مرحله دوم بعد از این که دست نوشه از نظر هماستایی و فرمت مجله مورد ارزیابی اولیه قرار گرفت و تاییدیه دفتر مجله درخصوص قابل ارجاع بودن آن دست نوشه برای شروع فرایند داوری ارسال گردید، ضروری است ۵۰ درصد کل هزینه به منظور شروع فرآیند داوری به عنوان (Processing fee) بر اساس موارد ذکر شده در بخش هزینه انتشار راهنمای نویسنده‌گان پرداخت گردد. این هزینه غیر قابل برگشت می‌باشد. سپس فایل مربوط به تصویر اسکن شده فیش پرداختی فقط با نام نویسنده مسؤول از طریق سایت به دفتر مجله ارسال گردد. لازم به ذکر است تنظیم دست نوشه بر اساس فرمت مجله، و پرداخت وجه اولیه فقط جهت ارسال به داوران بوده و دال بر پذیرش آن نمی‌باشد.

- از مؤلفان گرامی تقاضا می شود، در ارسال مقالات به نکات زیر توجه فرمایند:
- ارسال مقاله فقط از طریق سایت پذیرفته می شود.
 - زبان رسمی مجله، فارسی است و مقالات فقط به زبان فارسی همراه با چکیده انگلیسی قابل پذیرش هستند.
 - دست نوشته های به زبان های غیر از فارسی و ترجمه شده در این مجله منتشر نمی شود.
 - مقالات باید پژوهشی و حاصل تحقیق نویسنده یا نویسنده علوم پزشکی (پایه و بالینی) و رشته های مرتبط بوده که پیش از این به انگلیسی یا فارسی در سایر مجلات منتشر نشده باشد و یا به طور همزمان به مجلات دیگر نیز ارسال نگردیده باشد.
 - این مجله مقالات شامل انواع اصیل و پژوهشی، مروری، مقالات کوتاه، مقالات دارای امتیاز بازآموزی و نامه به سردبیر را در منتشر می نماید.
 - فیلم های آموزشی تهیه شده توسعه محققین نیز توسط این مجله انتشار می یابد.
 - مقالات قابل انتشار در مجله علمی - پژوهشی داشکده پزشکی اصفهان شامل موارد زیر می باشند.
- الف- مقالات پژوهشی اصیل: مقالات علمی - پژوهشی با حداقل حجم ۲۵۰۰ کلمه؛ سقف مجموع جداول و تصاویر ۴، سقف منابع و مأخذ ۳۰ عدد می باشد.
- ب- مقالات کوتاه پژوهشی: مقالات علمی کوتاه پژوهشی با حداقل ۱۰۰۰ کلمه؛ سقف مجموع جداول و تصاویر ۲، سقف منابع و مأخذ ۱۵ عدد می باشد.
- ج- مقالات مروری - مقالات مروری (Review Article) از نویسنده گران مجرب و صاحب مقالات پژوهشی در زمینه مورد بحث پذیرفته خواهد شد. اصول کلی نگارش مشابه سایر مقاله های پژوهشی است. این نوع مقالات با حداقل ۷۰۰۰ کلمه می باشند. در فهرست منابع حداقل ۶ مراجع مورد استفاده می باشند متعلق به نویسنده باشد (با حداقل چهار مقاله از شش مقاله به عنوان نویسنده اول و یا نویسنده سؤول). برای ارسال مقالات مروری ضروری است که حتماً از قبل با سردبیر مجله هماهنگی لازم صورت گرفته و سپس اقدام به ارسال دست نوشته نمایند در غیر اینصورت مجله از بررسی آن معذور است.
- د- نامه به سردبیر- نامه به سردبیر می تواند به صورت ارایه مشاهدات علمی یا نقد یکی از مقالات چاپ شده در این مجله باشد و با بحثی کوتاه، همراه با درج فهرست منابع نگاشته شود. نامه به سردبیر با حداقل ۱۰۰۰ کلمه؛ سقف مجموع جداول و تصاویر ۲، سقف منابع و مأخذ ۵ عدد می باشد. نقد مقاله برای نویسنده مسئول مقاله مورد نقد، ارسال خواهد شد و همراه با پاسخ وی، در صورت تصویب شورای نویسنده گان به چاپ خواهد رسید.
- ه- تحقیقات کیفی- تحقیقات کیفی با حداقل ۳۰۰۰ کلمه؛ سقف مجموع جداول و تصاویر ۴، سقف منابع و مأخذ ۳۰ عدد می باشد.
- ز- گزارش مورد- گزارش های موردي شامل گزارش موارد نادر یا جالب است و باید شامل چکیده، مقدمه، گزارش مورد، بحث، نتیجه گیری، سپاس گزاری و منابع باشد. گزارش مورد با حداقل ۱۰۰۰ کلمه؛ سقف مجموع جداول و تصاویر ۵، سقف منابع و مأخذ ۱۵ عدد می باشد.
- تبصره ۱- مقالات ترجمه پذیرفته نمی شود.
- تبصره ۲- ارسال دست نوشته یا مدارک با فرمت PDF به هیچ عنوان پذیرفته نیست.
- تبصره ۳- مقاله های کارآزمایی بالینی پیش از ارسال برای انتشار، بایستی در یکی از مراکز ثبت کارآزمایی های بالینی مانند مرکز ثبت کارآزمایی بالینی ایران IRCT به آدرس زیر ثبت شده و کد ثبت آنها به همراه مقاله ارسال شود: <http://www.irct.ir>
- مقالات ارسالی باید دارای بخش های ذیل باشند و به دست نوشته هایی که خارج از فرمت ذکر شده ارسال گردد ترتیب اثر داده نخواهد شد.
- دست نوشته باید توسط نرم افزار Word MS در سایز A4 و فاقد هرگونه صفحه آرایی، فاصله خطوط ۱ برابر (Single) با حاشیه های ۲/۵ سانتی متری، به صورت یک ستونی، قلم Zar و سایز ۱۱، قلم عنوان Zar سایز ۱۱ Bold تهیه شوند. برای تایپ متن خلاصه انگلیسی و رفرانس ها از قلم Time New Roman سایز ۱۰ و جهت قلم عنوان لاتین نیز از قلم Time New Roman Bold سایز ۱۰ استفاده شود.
- معادلات باید به صورت خوانا با حروف و علائم مناسب با استفاده از Microsoft Word Equation تهیه شوند. واحد ها بر حسب واحد بین المللی (SI) و معادلات به ترتیب شماره گذاری شوند.
- دست نوشته باید شامل دو فایل: (۱) فایل Word صفحه عنوان (۲) فایل Word دست نوشته (به ترتیب دارای چکیده، مقدمه، روش ها، یافته ها، بحث، تقدیر و تشکر و منابع) باشد. تأکید می گردد از ارسال فایل های متعدد حاوی جداول، تصاویر و غیره خودداری شود.
- صفحه عنوان: این صفحه باید شامل عنوان کامل، عنوان مکرری، اسمی نویسنده یا نویسنده گان با بالاترین مدرک تحصیلی، گروه یا بخش یا مؤسسه محل فعالیت ایشان و همچنین آدرس، تلفن، فاکس و پست الکترونیکی نویسنده مسؤول و تقدیر و تشکر (شامل تشكیر از افراد، شماره طرح پژوهشی و یا پایان نامه، ذکر منابع مالی و اعتباری طرح پژوهشی) باشد. ضروری است که علاوه بر ذکر تقدیر و تشکر در صفحه عنوان، در پایان دست نوشته نیز بخش تقدیر و تشکر مجدد تکرار گردد.
- ذکر اسامی نویسنده یا نویسنده گان با بالاترین مدرک تحصیلی، گروه یا بخش یا مؤسسه محل فعالیت ایشان به انگلیسی نیز در صفحه عنوان الزامی است.
- تبصره ۱- عنوان مقاله معرف محتوای مقاله باشد و از ۲۰ واژه تجاوز نکند.
- تبصره ۲- با توجه به سیستم الکترونیک مجله، مقاله مستقیما برای داور ارسال می گردد، لذا توجه شود که در فایل ورد پس از صفحه عنوان، مقاله فاقد اسامی نویسنده گان باشد. در غیر این صورت تا اصلاح شدن فایل، ارسال مقاله برای داور متوقف می شود.
- چکیده: تمام مقالات اصلی باید دارای چکیده مقاله به دو زبان فارسی و انگلیسی با حداقل ۲۵۰ کلمه باشد. چکیده باید شامل بخش های مقدمه، روش ها، یافته ها، بحث و واژگان کلیدی باشد. در پایان چکیده مقاله سه الی پنج کلمه کلیدی قرار می گیرد که بایستی تنها با استفاده از راهنمای MeSH از آدرس (<http://nlm.nih.gov/mesh/MBrowser.html>) استخراج گردد. چکیده انگلیسی بایستی دقیقاً معادل چکیده فارسی باشد و شامل بخش های Keywords, Conclusion ,Findings ,Methods ,Background باشد.

- مقدمه و معرفی: در این بخش اهداف و علل انجام مطالعه آورده می‌شود؛ بنابراین نیازی به ارائه گستردگی مطالب موجود در متون علمی نیست. در این بخش باید از ارائه اطلاعات، یافته‌های و نتایج مطالعه خودداری گردد.

- روش‌ها: این بخش شامل ارائه دقیق مشاهدات، مداخلات و روش‌های مورد استفاده در مطالعه است. اگر روش مورد استفاده شناخته شده است فقط منبع آن ذکر گردد اما اگر روشی نوین است، باید به صورتی توضیح داده شود که برای سایر محققان قابل درک و به طور عینی قابل انجام و تکرار باشد. در صورت استفاده از دستگاه و تجهیزات خاص باید نام، نام کارخانه سازنده و آدرس آن در پرانتز ذکر گردد. اگر از دارو در مطالعه استفاده شده است باید نام ژنریک، دوز و روش مصرف آن آورده شود. در مورد افراد و بیماران تحت مطالعه باید جنس و سن (همراه انحراف معیار) آورده شود. در مورد نرم‌افزارها و سیستم‌های کامپیوتری باید سال و ویرایش آن در پرانتز و پس از نام آن ذکر گردد.

در صورتی که مطالعه دارای پرسشنامه یا چک لیست است، ضمیمه کردن آن لازم است؛ شیوه تأمین روایی مشخص شود و توصیف دقیق فرآیند اجرایی برای روازایی آن توضیح داده شود. چگونگی تهییں روش‌های مورد استفاده برای تأمین پایابی پرسشنامه و گزارش نتایج آزمون‌های آماری به کار گرفته شده جهت تأمین پایابی توضیح داده شود. در مورد پرسشنامه‌های استاندارد ذکر نام و مرجع آن کافی است.

- یافته‌ها: این بخش به صورت متن همراه با جدول‌ها، شکل‌ها و نمودارها ارائه می‌گردد. در این بخش فقط یافته‌ها ارائه می‌شود و باید از ذکر دلایل و استدلال‌های مرتبط با آن خودداری گردد. محتوای جداول باید به صورت کامل در متن ارائه شوند، بلکه کافی است با ذکر شماره جدول، شکل و یا نمودار به آنها در میان متن اشاره شود. جدول‌ها، نمودارها و شکل‌ها هر کدام باید در یک صفحه جداگانه و پس از منابع، در پایان دست‌نوشته به ترتیب آورده شوند. همچنین باید جداول و نمودارها در فایل اصلی دست نوشته، علاوه بر ارجاع در متن، محل قرارگیری آن‌ها نیز جانمایی شده باشند.

- بحث: در این بخش در ابتدا به یافته‌های مهم اساسی مطالعه و سپس تشابه و تفاوت‌های آن با یافته‌های سایر پژوهشگران در مطالعات مشابه اشاره می‌گردد. ذکر جزئیات کامل یافته‌ها در این بخش لازم نیست. تأکید بر یافته‌های جدید و با اهمیت مطالعه حاضر و دستاوردهای آن در این قسمت ضروری است. ذکر این که فرضیه ارائه شده در مطالعه صحیح یا نادرست بوده، یا این که دلایل کافی برای رد یا قبول آن به دست نیامده است، ضروری می‌باشد. هدف این بخش، ذکر دلیل اصلی انجام تحقیق، تحلیل و تفسیر یافته‌ها و همچنین نتیجه‌گیری کلی (Conclusion) است.

- جداول: جداول بدون حاشیه خارجی ارسال گردد. تعداد محدود جدول با توجه به حجم مطالعه و مقامه، همراه با ذکر عنوان آن در بالای جدول مورد قبول خواهد بود. ارسال جداول فقط تحت نرم‌افزار MSWord مورد قبول است. توضیحات اضافی در خصوص محتوای جداول باید به صورت پی‌نوشته و در پایین جداول باشد. جداول‌ها باید در صفحات جداگانه و در پایان دست نوشته (پس از منابع) قرار داده شوند. جدول‌ها باید دارای زمینه سفید و بدون سایه و تراکم باشد. جداول باید توسط نرم‌افزار MS Word و قادر هرگونه صفحه آرایی، فاصله خطوط ۱ برابر (Single)، قلم Zar B و سایز ۱۰ او قلم متغیرهای هر ستون Zar B و سایز Bold ۱۰ تهیی شوند. برای تایپ کلمات لاتین در جدول از قلم Time New Roman سایز ۹ استفاده شود.

- تصویر و نمودار: تصویر یا نمودار همراه ذکر عنوان آن در زیر و با فرمت JPEG قابل قبول است. لازم است هر تصویر با کیفیت ۲۰۰ نقطه در اینچ و محدودیت حجم حدکثر ۵۰۰ کیلو بایت در نظر گرفته شود.

- تبصره ۱- اگر شکل یا جدولی از مرجع دیگری اخذ شده است، شماره مرجع در آخر عنوان جدول یا شکل نوشته شود و مشخصات مأخذ در بخش مراجع درج شود. - تقدیر و تشکر: در این بخش تمام افرادی که به نحوی در انجام مطالعه نقش داشته ولي جزء نویسنده‌گان نبوده‌اند مورد تقدیر قرار گیرند؛ از جمله کسانی که کمک‌های فنی، نوشتاری و مالی داده و همچنین سرپرستان و مدیران بخش‌های محل انجام مطالعه که در امر پژوهشیانی‌های عمومی در اجرای تحقیق فعالیت داشته‌اند. همچنین ذکر نام سازمان‌(های) حمایت‌کننده یا تأمین‌کننده مالی پژوهش در این بخش ضروری است.

- در صورتی که دست نوشته حاصل از پایان‌نامه دانشجویی باشد حتماً بایستی در قسمت تقدیر و تشکر شماره پایان‌نامه مصوب دانشگاه و نیز نام دانشگاه ذکر گردد. - تبصره ۱- ضروری است که علاوه بر ذکر تقدیر و تشکر در صفحه عنوان، در پایان دست نوشته نیز بخش تقدیر و تشکر مجدد تکرار گردد.

- منابع: نویسنده باید از صحت اشاره منابع ذکر شده به مطالب مورد استناد مطمئن باشد. ساختار منابع در این مجله بر اساس معاهده ونکور (Vancouver) می‌باشد. تمامی منابع باید به زبان انگلیسی باشد، ترجمه متن منابع فارسی به عهده نویسنده است و در پایان آن عبارت [In Persian] خواهد آمد. موارد ذیل برای نمونه ذکر می‌گردد:

- اگر منبع مورد نظر مقاله است:

نام خانوادگی (فاسله) حرف اول نام کوچک نویسنده (.) عنوان مقاله (.) مخفف نام مجله (بر اساس Medline) سال انتشار (.) شماره‌ی انتشار (شماره‌ی مجله) (:) شماره‌ی صفحات. مثال:

نمونه انگلیسی:

Inser N. Treatment of calcific aortic stenosis. Am J Cordial 1987; 59(6): 314-7

نمونه فارسی:

Zini F, Basiri Jahromi Sh. Study of fungal infections in patients with leukemia. Iran J Public Health 1994; 23(1-4): 89-103. [In Persian].

(نام نویسنده‌گان با علامت کاما از هم جدا شود. ذکر اسمی نویسنده‌گان تا نفر ششم الزامی است. اگر تعداد نویسنده‌گان بیش از شش نفر باشد، پس از نام نفر ششم، از عبارت "et al." استفاده شود).

- اگر منبع مورد نظر کتاب است:

نام خانوادگی (فاسله) حرف اول نام کوچک نویسنده (.) عنوان کتاب (.) نوبت چاپ (.) محل نشر (:) ناشر (;) سال انتشار (.) شماره صفحات (.) مثال:

نمونه انگلیسی:

Romenes GJ. Cunningham's manual. 15th ed. New York, NY: Oxford Univ Press; 1987.

نمونه فارسی:

Azizi F, Janghorbani M, Hatami H. Epidemiology and control of common disorders in Iran. 2nd ed. Tehran, Iran: Eshtiagh Publication; 2000. p. 558. [In Persian].

- اگر منبع مورد نظر فصلی از کتاب است:

نام خانوادگی (فاسله) حرف اول نام کوچک نویسنده آن فصل. عنوان فصل مورد نظر. در: نام خانوادگی (فاسله) حرف اول نام کوچک تدوین کننده‌ی کتاب. عنوان کتاب. نوبت چاپ. محل نشر: نام ناشر؛ سال انتشار. پ. صفحات. مثال:

Bodly L, Bailey Jr. Urinary tract infection. In: Tailor R, editor .Family medicine. 6th ed. New York, NY: Springer; 2003. p. 807-13.

- منابع به صورت پایان‌نامه

نام خانوادگی نویسنده (فاسله) حرف اول نام کوچک نویسنده (.) عنوان پایان‌نامه (فاسله) [مقطع پایان‌نامه] (.) نام شهر، کشور (:) نام دانشگاه (;) سال انتشار

- منابع به صورت الکترونیکی - مجله الکترونیکی روی اینترنت

نام خانوادگی (فاسله) حرف اول نام کوچک نویسنده (.) عنوان مقاله (.) نام اختصاری مجله الکترونیکی (فاسله) [online] (سال نشر (و ماه نشر در صورت لزوم) (: دوره (شماره) (: شماره صفحات یا قابها) [روز، ماه و سال دسترسی [cited (;) Available from (: آدرس اینترنتی دسترسی مثال:

Mosharraf R, Hajian F. Occlusal morphology of the mandibular first and second premolars in Iranian adolescents. Inter J Dental Anthropol [Online] 2004; 5: [3 Screens] [cited 2006 Nov 13]; Available from: <http://www.jida.syllabapress.com/abstractsijda5.shtml>

منابع به صورت صفحه وب

نام خانوادگی (فاسله) حرف اول نام کوچک نویسنده [یا شرح پدیدآور] (.) عنوان (.) سال نشر در صورت دسترسی (: شماره صفحات یا قابها [روز، ماه و سال دسترسی [cited (;) Available from (: آدرس اینترنتی دسترسی مثال:

Dentsply Co. BioPure (MTAD) Cleanser. [2 screens] [cited 2006 Nov 26]. Available from: www.store.tulsadental.com/catalog/biopure.html

- نمونه خوانی (**Proofreading**): یک نسخه از مقاله پیش از چاپ جهت انجام اصلاحات ضروری و بر طرف کردن اشکالات احتمالی برای نویسنده مسؤول ارسال می‌گردد که لازم است در کوتاه‌ترین زمان تغییرات مورد نظر مجله انجام داده، از طریق وب‌سایت مجله ارسال نماید.

- اختصارات و نشانه‌ها: تنها از اختصارات و نشانه‌های استاندارد استفاده شود و از ذکر عبارت‌های مخفف در عنوان و خلاصه مقاله خودداری گردد.

- توضیح کامل در مورد هر کدام از عبارت‌های اختصاری برای اولین بار در متن آورده شود، مگر این که مربوط به مقیاس‌ها و مقادیر استاندارد شناخته شده باشد.

- پس از انتشار، نسخه‌ای برای نویسنده مسؤول ارسال نخواهد شد و شماره‌های مجله از طریق سایت برای نویسنده‌گان و خوانندگان قابل دسترسی می‌باشد.

- ملاحظات اخلاقی: این ملاحظات باید در بخش روش‌ها اشاره گردد. اخذ رضایت‌نامه از کلیه افراد بالغ شرکت کننده در مطالعه ضروری است و در مورد کودکان و افراد تحت تکلف باید از ولی قانونی آنها اخذ شود. ذکر منع تأیید کننده ملاحظات اخلاقی مطالعه لازم است. هنگام استفاده از حیوانات آزمایشگاهی ذکر رعایت مقتدرانه تا زمانی دستیابی به نتایج ممکن باشد.

- تداخل منافع (Conflict of Interest): نویسنده یا نویسنده‌گان باید هر گونه ارتباط مالی مانند دریافت هزینه، حق‌الزحمه، مواد و تجهیزات از دانشگاه‌ها، سازمان‌ها، نهادها، شرکت‌ها و سایر منابع که انتشار را فته‌های مطالعه می‌تواند به آنها سود زایان بررساند را اعلام ننمایند.

- هزینه انتشار:

محاسبه هزینه‌های دریافتی، براساس جدول زیر می‌باشد:

نوع مقاله	تعداد کلمات مجاز شامل کلیه بخش‌های مقاله، رفرنس‌ها، شکل‌ها و نمودارها (هر شکل برابر ۳۰۰ کلمه محاسبه می‌شود)	هزینه دریافتی به ازای هر ۵۰۰ کلمه اضافی (هزار تومان)	هزینه دریافتی *(هزار تومان)
نامه به سردیر	۴۰۰	-	-
گزارش مورد	۱۰۰۰	۱۰۰	۱۰۰
کوتاه	۱۰۰۰	۱۰۰	۱۰۰
پژوهشی اصیل	۲۵۰۰	۲۰۰	۱۰۰
پژوهشی اصیل (مطالعات کیفی)	۳۰۰۰	۲۰۰	۱۰۰
مروری	۷۰۰۰	۲۰۰	۱۰۰

نکته: هر تصویر و نمودار معادل ۳۰۰ کلمه محاسبه می‌گردد.

* هزینه‌های ستون سوم صرفاً برای مقالاتی که هم نویسنده اول و هم نویسنده مسؤول هر دو وابسته به دانشگاه علوم پزشکی اصفهان (IUMS) باشند، مشمول ۵۰٪ تخفیف خواهد بود.

- ۵۰ درصد کل هزینه در ابتدا و بعد از دریافت ایمیل شروع فرآیند به عنوان (Processing fee) به منظور شروع داوری دریافت می‌گردد. این هزینه غیر قابل بازگشت خواهد بود. فایل مربوط به تصویر اسکن شده فیش پرداختی فقط با نام نویسنده مسؤول از طریق سایت به دفتر مجله ارسال گردد، لازم به ذکر است تنظیم دست نوشته بر اساس فرمات مجله و پرداخت وجه فقط جهت فرآیند داوری می‌باشد و تمهیدی برای پذیرش مقاله ایجاد ننماید. ۵۰ درصد هزینه باقیمانده در صورت پذیرش نهایی مقاله به عنوان Acceptance fee دریافت خواهد شد.

نکته: در نام نویسنده مسؤول، شماره مقاله و عنوان هزینه پرداخته و هزینه فرایند داوری با هزینه پذیرش، نهایه در اسکر، قیمت، پرداخته، الزام، است.

- در صورت تقاضای "بررسی سریع" (Fast track) زمان بررسی مقاله تا تصمیم گیری نهایی به ۲۰-۲۵ روز تقلیل خواهد یافت. در این حالت کل هزینه به اضافه ۴۰ درصد هزینه "بررسی سریع" در انتدای فرآنند اوپری اخذ خواهد شد.

حق نسخه برداری (Copyright): تمامی محتویات مجله دانشکده پزشکی اصفهان تحت قانون حق نسخه برداری بین المللی قرار دارد. این مجله برای استفاده غیر تجاری در اختیار افراد قرار می‌گیرد. اصلاح، انتقال و نمایش هر گونه محتویات مجله بدون ذکر نام این مجله ممنوع است.

- فرآیند مرور دقیق (Peer Review): تمام دستنوشته‌ها توسط داوران منتخب شورای نویسنده‌گان مجله مورد بررسی دقیق قرار می‌گیرد. نویسنده‌ی مسؤول در کوتاه‌ترین زمان در جریان تصمیم سردبیر در مورد رد، قبول یا اصلاحات مورد نظر داوران و هیأت تحریریه قرار خواهد گرفت. در صورت پذیرش مقاله برای حاصل نامه بذیر ش، به همراه اینها، برای نویسنده، مسؤول ارسال می‌شود و مقاله در نوبت حاصل قرار خواهد گرفت.

چاپ، نامه پذیرش به همراه ایمیل برای نویسنده‌ی مسؤول ارسال می‌شود و مقاله در نوبت چاپ قرار خواهد گرفت.

- هیأت تحریریه در رد، اصلاح، ویرایش و خلاصه کردن مقاله آزاد است.

- مسؤولیت صحت یا سقم مطالب ارایه شده در مقاله بر عهده‌ی نویسنده یا نویسنده‌گان است.

فهرست مطالب

مقالات‌های پژوهشی

- بررسی تأثیر آمادگی روده‌ای بر میزان خونریزی حین عمل در بیماران فیوژن مهره‌ای کمر..... ۱۰۴۹
مجید رضوانی، رضا عباسی منجزی

- طراحی بیانفورماتیک برای تولید واکسن پتیدی **Vascular Endothelial Growth Factor-A (VEGF-A)** انسانی و ارزیابی آنتی‌بادی پلی‌کلونال اختصاصی آن در موش..... ۱۰۵۴
فائزه سلطان‌پور غریب‌دستی، غلامعلی کاردر، بنفشه فاضلی دلشداد، رضا فلک، مزدک گنجعلی خانی حاکمی، علیرضا عندلیب

- تعیین **Computed Tomography Scan (CTDIw)** برای آزمون‌های **Weighted Computed Tomography Dose Index** آنژیوگرافی عروق کرونری در دستگاه‌های **CT Scan** ۶۴ قطعه‌ای..... ۱۰۶۰
محمدباقر توکلی، ریحانه فرجی، امیر سجادیه، سلمان جعفری

- مقایسه‌ی شیوع یافته‌های آندوسکوپی در بیماران همودیالیز با دیالیز صفاقی در افراد کاندیدای پیوند کلیه..... ۱۰۶۶
افسون امامی نائینی، مژگان مرتضوی، آذین آذربایجانی، بابک حسین‌زاده، سید محسن حسینی، پیمان ادیبی

- بررسی عود پنوموتوراکس در مبتلایان به پنوموتوراکس خود به خودی تحت درمان با **Slurry Tetracycline Pleurodesis** ۱۰۷۱
محسن کلاهدوزان، سید مظفر هاشمی، سیمین شکرالله‌ی

بررسی تأثیر آمادگی روده‌ای بر میزان خونریزی حین عمل در بیماران فیوژن مهره‌ای کمر

مجید رضوانی^۱، رضا عباسی منجزی^{۲*}

مقاله پژوهشی

چکیده

مقدمه: مطالعه‌ی حاضر، با هدف تعیین تأثیر آمادگی روده‌ای بر حجم خونریزی در اعمال جراحی فیوژن مهره‌ای به انجام رسید.

روش‌ها: طی یک مطالعه‌ی کارآزمایی بالینی، ۱۱۰ بیمار کاندیدای عمل جراحی فیوژن مهره‌ای، در دو گروه ۵۵ نفره توزیع شدند. گروه اول تحت آمادگی روده‌ای با محلول پلی‌اکیلن گلیکول در آب به مدت ۱۶ ساعت و ۸ ساعت ناشتا و گروه دوم تحت روش معمول آمادگی جراحی یعنی ۸-۱۲ ساعت ناشتا قرار گرفتند و سطح هموگلوبین، حجم خونریزی و عوارض حین و بعد از عمل بین دو گروه مقایسه شد.

یافته‌ها: در دو گروه با و بدون آمادگی روده‌ای، میانگین حجم خونریزی در حین عمل، $780/5 \pm 475/0$ و $780/4 \pm 475/0$ میلی‌لیتر، در ۲۴ ساعت بعد از عمل $931/9 \pm 475/0$ و $110/7 \pm 55/6$ میلی‌لیتر و ۴۸ ساعت بعد از عمل، $3/2 \pm 118/2$ و $138/6 \pm 101/5$ میلی‌لیتر بود. میانگین حجم خونریزی در حین عمل در گروه بدون آمادگی روده‌ای، به طور معنی‌داری بیشتر بود ($P = 0.046$)، اما حجم خونریزی در ۲۴ و ۴۸ ساعت بعد از عمل، بین دو گروه متفاوت نبود (به ترتیب $P = 0.170$ و $P = 0.230$).

نتیجه‌گیری: احتمال می‌رود ایجاد آمادگی روده‌ای در بیماران تحت عمل جراحی فیوژن ستون فقرات، با کاهش بیشتر عوارض حین و بعد از عمل به ویژه خونریزی همراه باشد. از این رو، پیشنهاد می‌گردد در اعمال جراحی ستون فقرات، به ویژه فیوژن مهره‌ای، بیماران با آمادگی روده‌ای، مهیاً عمل جراحی گردند.

وازگان کلیدی: آمادگی روده‌ای، فیوژن مهره، خونریزی حین عمل

ارجاع: رضوانی مجید، عباسی منجزی رضا. بررسی تأثیر آمادگی روده‌ای بر میزان خونریزی حین عمل در بیماران فیوژن مهره‌ای کمر. مجله دانشکده پزشکی اصفهان ۱۳۹۵؛ ۳۴ (۳۹۸): ۱۰۴۹-۱۰۵۳.

سوی دیگر، با توسعه‌ی روزافزون تکنولوژی پزشکی، جراحی ستون فقرات با وسیله‌گذاری نیز در دهه‌های اخیر پیشرفت قابل توجهی داشته است (۴).

در روش جراحی فیوژن ستون فقرات، هم‌جوشی چیش و استخوان، منجر به ثبات در ستون فقرات می‌گردد که این هم‌جوشی، کاهش درد و بهبود کیفیت زندگی بیماران را به دنبال دارد (۳-۴)، اما در عین حال، فیوژن ستون فقرات هنوز هم با بروز برخی عوارض و مشکلات از جمله خونریزی محل عمل، عفونت، آسیب ریشه‌های عصبی، پارگی تکال، آسیب نخاعی و سازیتال نامناسب همراه می‌باشد. هر چند که میزان بروز این عوارض زیاد نیست، اما به علت اهمیت آن‌ها، مورد توجه هستند (۵-۶).

خونریزی، یکی از مهم‌ترین عوارض حین عمل و برای بیمار و

مقدمه

توانایی ایستادن مدام و راحت روی دو پا از بین تمام گونه‌های جانوری، تنها به انسان اختصاص دارد. انسان این توانایی را مدعیون وضعیت انحناهای ستون فقرات، وجود سازیتال بالائی منحصر به فرد و وضعیت لگن است که همه‌ی این‌ها، باعث برقراری بردار وزنی عمودی می‌شود که بین دو پا قرار می‌گیرد (۱).

بیماری‌های مادرزادی و دُزِنراتیو، از عوامل اصلی بر هم زننده‌ی تعادل فرق می‌باشند که علاوه بر آن، به علت ایجاد درد یا نشانه‌های عصبی، امکان فعالیت و حرکت عادی را از بیمار می‌گیرند (۲). بخش بزرگی از اختلالات مرتبط با عدم ثبات و تعادل ستون فقرات، تنها با فیوژن و وسیله‌گذاری قابل اصلاح است (۳) و این روش جراحی، از مهم‌ترین و شایع‌ترین جراحی‌های اعصاب محسوب می‌گردد. از

۱- استادیار، گروه جراحی اعصاب، دانشکده پزشکی، دانشگاه علوم پزشکی اصفهان، اصفهان، ایران
۲- دستیار، گروه جراحی اعصاب، دانشکده پزشکی، دانشگاه علوم پزشکی اصفهان، اصفهان، ایران

*نویسنده‌ی مسؤول: رضا عباسی منجزی

Email: dr.reza.abbasi@gmail.com

آمادگی روده‌ای در گروه مورد با محلول پلی‌اتیلن گلیکول در آب انجام شد. این بیماران، ۱۶ ساعت تحت رژیم مایعات صاف شده و ۸ ساعت NPO (Ne per os) بودند و طی این مدت ۲۴ ساعت، هر ۸ ساعت محلول ۷۵ گرم پلی‌اتیلن گلیکول در یک لیتر آب مصرف کردند. در گروه شاهد، از روش معمول آمادگی جراحی یعنی ۸-۱۲ ساعت NPO استفاده شد. آموزش نحوه مصرف پلی‌اتیلن گلیکول توسط پرستار و با نظارت پزشک بستری کننده در بخش جراحی اعصاب صورت گرفت.

در این مطالعه، تقسیم بیماران به دو گروه با و بدون آمادگی روده‌ای توسط پرستار و با نظارت یکی از پزشکان جراح مغز و اعصاب که در جریان مطالعه نبود، انجام شد و جراح اصلی از چگونگی آمادگی روده‌ای بیماران اطلاع نداشت.

داده‌های مطالعه پس از جمع‌آوری وارد رایانه شد و با استفاده از نرم‌افزار SPSS نسخه ۲۳، SPSS Inc., Chicago, IL و آزمون آماری t و آزمون Repeated measures ANOVA مورد تجزیه و تحلیل قرار گرفت.

یافته‌ها

در این مطالعه، ۱۱۰ بیمار با میانگین سنی $56 \pm 12/3$ سال و شاخص توده‌ی بدنی $25/0 \pm 4/59$ کیلوگرم بر مترمربع مورد مطالعه قرار گرفتند که 60 نفر ($54/5$ درصد) آنان زن و 50 نفر ($45/5$ درصد) مرد بودند. در جدول ۱، توزیع مشخصات دموگرافیک بیماران به تفکیک دو گروه با و بدون آمادگی روده‌ای آمده است. بر حسب این جدول، توزیع سن و جنس، شاخص توده‌ی بدنی و سطح دیسک تحت عمل در دو گروه اختلاف معنی‌داری نداشت.

میانگین سطح هموگلوبین در دو گروه مورد و شاهد به ترتیب در قبیل از عمل $85/0 \pm 10/10$ و $10/10 \pm 13/10$ میلی‌گرم در دسی‌لیتر ($P = 0/880$)، در ۲۴ ساعت بعد از عمل به ترتیب $99/0 \pm 70/11$ و $99/0 \pm 50/11$ میلی‌گرم در دسی‌لیتر ($P = 0/370$) و در ۴۸ ساعت بعد از عمل به ترتیب $96/0 \pm 40/11$ و $96/0 \pm 70/11$ میلی‌گرم در دسی‌لیتر ($P = 0/070$) بود و اختلاف معنی‌داری بین دو گروه در سه زمان بررسی شده وجود نداشت.

از طرف دیگر، در آزمون Repeated measures ANOVA، تغییرات سطح هموگلوبین در درون هر دو گروه طی ۴۸ ساعت بعد از عمل نسبت به قبل از عمل کاهش معنی‌داری یافته بود ($P < 0/001$)، اما روند تغییرات سطح هموگلوبین در دو گروه متفاوت نبود ($P = 0/290$) (شکل ۱). قابل ذکر است از بین متغیرهای زمینه‌ای، مدت زمان عمل نیز در تغییرات سطح هموگلوبین اثر معنی‌داری داشت ($P < 0/001$).

جراحی مشکل‌ساز است و سبب طولانی شدن زمان عمل، نیاز به تزریق خون و فراورده‌های خونی و نیاز به بستری طولانی تر بیمار می‌شود (۷-۱۰).

با توجه به آناتومی شبکه‌ی خونرسانی ستون فقرات و تأثیر میزان فشار داخل شکمی در میزان اختناق خونی اطراف ستون فقرات، به نظر می‌رسد به وسیله‌ی آمادگی روده‌ای و با کاستن فشار داخل حفره‌ی شکم و کاهش تجمع خون در شبکه‌ی عروقی اطراف ستون فقرات، بتوان از میزان خونریزی حین عمل جراحی و عوارض مرتبط با آن به نحو بارزی کاست.

نتایج این مطالعه، می‌تواند راهنمای مناسبی در خصوص نحوه مدیریت بخشی از عوارض و مشکلات جراحی‌های ستون فقرات را فراهم آورد؛ به نحوی که با بهره‌مندی از نتایج حاصل از این مطالعه بتوان از عوارض حین و بعد از اعمال جراحی فیوژن کمر، کم کرد و نیز از بار مالی ناشی از تزریق خون، بستری طولانی مدت و سایر هزینه‌ها کاست.

روش‌ها

این مطالعه، یک مطالعه‌ی کارآزمایی بالینی دو سو کور بود که در سال ۱۳۹۴ در مرکز آموزشی-درمانی الزهرا (س) اصفهان انجام شد. جامعه‌ی آماری مورد مطالعه بیمارانی بودند که به علل دژنراتیو یا مادرزادی، تحت عمل جراحی فیوژن مهره‌ای کمر قرار گرفتند. معیارهای ورود به مطالعه، شامل ابتلا به فیوژن مهره‌ای کمر، دامنه‌ی سنی $18-65$ سال، عدم ابتلا به بیماری انعقادی یا گوارشی، عدم ابتلا به عفونت و بدخیمی و موافقت بیمار برای شرکت در مطالعه بود. همچنین، تغییر در پلان جراحی، فوت بیمار یا هر رخداد ناخواسته در حین عمل و دریافت آنتی‌کوآگولان به عنوان معیار خروج از مطالعه در نظر گرفته شد.

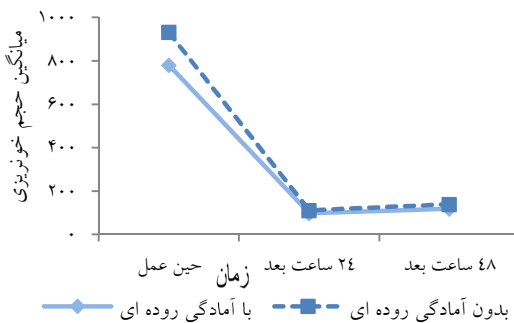
روش نمونه‌گیری در این مطالعه، به شیوه‌ی آسان بود و حجم نمونه‌ی مورد نیاز با فرمول محاسبه‌ی حجم نمونه جهت مقایسه‌ی میانگین‌ها و با سطح اطمینان ۹۵ درصد، توان آزمون $80/15$ میلی‌لیتر بود و حداقل تفاوت معنی‌داری بین دو گروه که به میزان $0/8$ منظور شد، به تعداد 55 نفر در هر گروه برآورد گردید.

روش کار بدنی صورت بود که پس از تصویب طرح و اخذ مجوز از کمیته‌ی اخلاق پزشکی دانشگاه علوم پزشکی اصفهان، ۱۱۰ بیمار کاندیدای عمل جراحی پرفیوژن ستون فقرات به ترتیب ورود به مطالعه به روش تصادفی‌سازی بلوکی در دو گروه 55 نفره توزیع شدند. گروه اول با آمادگی روده‌ای (گروه مورد) و گروه دوم بدون آمادگی روده‌ای (گروه شاهد) تحت عمل جراحی قرار گرفتند.

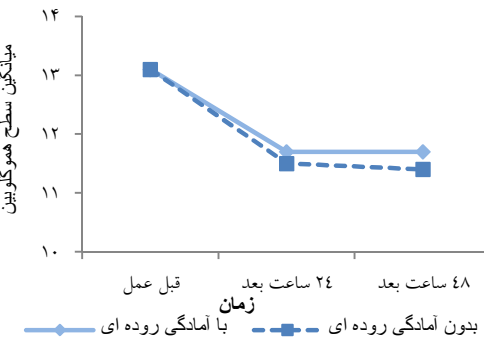
جدول ۱. توزیع مشخصات دموگرافیک دو گروه

متغیر	گروه مورد	گروه شاهد	مقدار P
توزیع سنی	میانگین (سال)	۵۶/۸۰ ± ۱۱/۷۰	.۰/۴۵۰
زیر ۵۰ سال	۲۳ (۴۱/۸)	۱۶ (۲۹/۱)	.۰/۱۶۰
۵۰ سال و بالاتر	۳۲ (۵۸/۲)	۳۹ (۷۰/۹)	
میانگین	۲۴/۵۳ ± ۲/۲۰	۲۴/۴۹ ± ۲/۹۰	.۰/۹۳۰
شاخص توده‌ی بدنی	میانگین		
طبیعی	۲۶ (۴۷/۳)	۲۸ (۵۰/۹)	.۰/۷۰۰
اضافه وزن	۲۹ (۵۲/۷)	۲۷ (۴۹/۱)	
تعداد سطح مهره‌ای	۱۶ (۲۹/۱)	۱۷ (۳۰/۹)	.۰/۵۲۰
تحت وسیله‌گذاری	۲۸ (۵۰/۹)	۲۷ (۴۹/۱)	
	۱۱ (۲۰/۰)	۹ (۱۶/۴)	
	۰ (۰)	۲ (۳/۶)	
ابتلا به دیابت	۱۲ (۲۲/۲)	۱۵ (۲۷/۳)	.۰/۵۴۰
ابتلا به فشار خون بالا	۱۴ (۲۵/۵)	۱۶ (۲۹/۱)	.۰/۶۷۰

اعداد کمی به صورت میانگین ± انحراف معیار و اعداد کیفی به صورت تعداد (درصد) آمده است.



شکل ۲. روند تغییرات حجم خونریزی در حین عمل و ۲۴ و ۴۸ ساعت بعد از عمل در دو گروه



شکل ۱. روند تغییرات سطح هموگلوبین از قبل تا ۴۸ ساعت بعد از عمل در دو گروه

در حین عمل، در ۱۴ نفر (۲۵/۹ درصد) از گروه مورد و ۲۳ نفر (۴۱/۸ درصد) از گروه شاهد، خون تزریق شد، اما طبق آزمون χ^2 تفاوت دو گروه معنی دار نبود ($P = ۰/۰۸۰$). میانگین مقدار خون تزریق شده در گروه مورد $۰/۴۹ \pm ۰/۱۳۳$ واحد و در گروه شاهد $۰/۰۴ \pm ۰/۰۹۸$ واحد و اختلاف دو گروه معنی دار بود ($P = ۰/۰۱۳$). میانگین مدت زمان عمل در دو گروه مورد و شاهد به ترتیب $۰/۶۲ \pm ۰/۰۷۹$ و $۰/۴۹ \pm ۰/۰۷$ ساعت و تفاوت دو گروه معنی دار بود ($P = ۰/۰۱۷$). میانگین مدت اقامت در بیمارستان نیز در دو گروه پیش گفته، به ترتیب $۱/۱۸ \pm ۰/۳۶۰$ و $۱/۲۲ \pm ۰/۳۸۰$ روز بود و تفاوت معنی داری بین دو گروه وجود نداشت ($P = ۰/۰۳۰$).

بحث

آمادگی روده‌ای، فرایندی است که به منظور جلوگیری از عوارض بعد از عمل در اعمال جراحی مختلف نظری اعمال جراحی دستگاه

میانگین حجم خونریزی در حین عمل، تا ۲۴ ساعت بعد از عمل و تا ۴۸ ساعت بعد از عمل در دو گروه با بدون آمادگی روده‌ای به ترتیب $۷۸۰/۴ \pm ۴۷۵/۰$ و $۹۷۳/۰ \pm ۴۵۷/۰$ و $۱۱۰/۷ \pm ۵۵/۶$ و $۱۱۸/۲ \pm ۷۴/۶$ و $۱۰۱/۵ \pm ۱۳۸/۶$ میلی لیتر بود و بر حسب آزمون χ^2 ، میانگین حجم خونریزی در حین عمل در گروه بدون آمادگی روده‌ای به طور معنی داری بیشتر بود ($P = ۰/۰۴۶$)؛ حجم خونریزی در ۲۴ ساعت ($P = ۰/۰۲۳۰$) و ۴۸ ساعت ($P = ۰/۰۱۷۰$) بعد از عمل بین دو گروه متفاوت نبود.

انجام آزمون Repeated measures ANOVA نیز نشان داد که تغییرات حجم خونریزی بین دو گروه مورد و شاهد اختلاف معنی داری داشت ($P = ۰/۰۴۵$) (شکل ۲). از بین متغیرهای زمینه‌ای، (BMI) Body mass index ($P = ۰/۰۳۴$) و مدت زمان عمل ($P = ۰/۰۰۷$) و ($P = ۰/۰۰۷$) نیز در تغییرات سطح هموگلوبین اثر معنی داری داشت.

عین حال، در مطالعه‌ی Smith و Smith، آمادگی روده‌ای تأثیری در ابتلا به عوارض بعد از عمل و مدت اقامت در بیمارستان در بیماران تحت عمل جراحی ترمی اسکولیوزیس نداشته است (۱۱). به هر حال، هر چند که تأثیر آمادگی روده‌ای در کاهش حجم خونریزی در اعمال جراحی ستون فقرات هنوز به طور کامل به اثبات نرسیده است، اما با توجه به آسیب‌هایی که در حین عمل ممکن است به اندام‌های مجاور به ویژه عروق خونی، اعصاب و دستگاه گوارش وارد شود، ایجاد آمادگی روده‌ای و تخلیه‌ی کامل محتویات روده، می‌تواند از عوارض بالقوه‌ی دیگری همچون بروز عفونت محل عمل جلوگیری کند. همچنین، توقف حرکات روده‌ای در بیمارانی که تحت این آمادگی قرار می‌گیرند، می‌تواند منجر به بالا رفتن دقت عمل، کاهش زمان عمل و متعاقب آن کاهش مدت زمان بیهوشی و عوارض مربوط، کاهش عوارض گوارش بعد از عمل مانند تهوع و استفراغ و ... گردد. از این رو، ضمن توصیه به انجام مطالعات بیشتر در این زمینه، پیشنهاد می‌گردد در اعمال جراحی ستون فقرات، به ویژه فیوژن مهره‌ای که مدت عمل، به طور معمول طولانی می‌باشد، در صورت صلاح‌حید پزشکی بیهوشی و جراح و عدم وجود کتررا اندیکاسیون برای آمادگی روده‌ای، نسبت به اعمال این روش اقدام گردد.

تشکر و قدردانی

مقاله‌ی حاضر، حاصل پایان‌نامه‌ی دکتری تخصصی در رشته‌ی جراحی اعصاب است که با شماره‌ی ۳۹۳۶۱۸ در حوزه‌ی معاونت پژوهشی دانشکده‌ی پزشکی دانشگاه علوم پزشکی اصفهان تصویب شد و با حمایت‌های این معاونت به انجام رسید. از این رو، نویسنده‌گان مقاله از زحمات ایشان تشکر و قدردانی می‌نمایند.

References

1. Baker K, Featherstone K, McIlvoy L, Mancini B. Lumbar spine surgery: A guide to preoperative and postoperative patient care. AANN Reference Series for Clinical Practice. Glenview, IL: American Association of Neuroscience Nurses; 2004.
2. Spinal fusion surgery guide. Vanderbilt University, Medical Center [Online]. [cited 2016]; Available from: URL: <http://www.mc.vanderbilt.edu/documents/spinecenter/files/Spinal%20Fusion.pdf>
3. Becske T, Nelson PK. The vascular anatomy of the vertebro-spinal axis. Neurosurg Clin N Am 2009; 20(3): 259-64.
4. Braybrooke J, Ahn H, Gallant A, Ford M, Bronstein Y, Finkelstein J, et al. The impact of surgical wait time on patient-based outcomes in posterior lumbar spinal surgery. Eur Spine J 2007; 16(11): 1832-9.
5. Fantini GA, Pappou IP, Girardi FP, Sandhu HS, Cammisa FP, Jr. Major vascular injury during anterior lumbar spinal surgery: incidence, risk factors, and management. Spine (Phila Pa 1976) 2007; 32(24): 2751-8.
6. Brau SA, Delamarter RB, Schiffman ML, Williams LA, Watkins RG. Vascular injury during anterior lumbar surgery. Spine J 2004; 4(4): 409-12.
7. Kulkarni SS, Lowery GL, Ross RE, Ravi SK, Lykomitros V. Arterial complications following anterior lumbar interbody fusion: report of eight cases. Eur Spine J 2003; 12(1): 48-54.
8. Holt RT, Majd ME, Vadhma M, Castro FP. The efficacy of anterior spine exposure by an orthopedic surgeon. J Spinal Disord Tech 2003; 16(5): 477-86.
9. Gardner GP, Josephs LG, Rosca M, Rich J, Woodson J, Menzoian JO. The retroperitoneal incision. An evaluation of postoperative flank 'bulge'. Arch Surg 1994; 129(7): 753-6.
10. Fantini GA, Pawar AY. Access related complications during anterior exposure of the lumbar spine. World J Orthop 2013; 4(1): 19-23.
11. Smith JT, Smith MS. Does a preoperative bowel preparation reduce bowel morbidity and length of stay after scoliosis surgery? A randomized prospective study. J Pediatr Orthop 2013; 33(8): e69-e71.

A Study on the Effects of Bowel Preparation on the Rate of Perioperative Bleeding in the Patients Undergone Lumbar Fusion Operation

Majid Rezvani¹, Reza Abbasi-Monjazi²

Original Article

Abstract

Background: This study aimed to determine the effect of bowel preparation on bleeding in spinal fusion surgery.

Methods: In this clinical trial study, 110 patients who were candidates for lumbar fusion operation were randomly divided in two groups. The first group underwent bowel preparation with solution of polyethylene glycol in water for 16 hours and 8 hours fasting and the second group underwent routine surgical preparation that was at least 8 to 12 hours of fasting. Hemoglobin level, hemorrhage volume and complications during and after the surgery were compared between the two groups.

Findings: The mean (\pm standard deviation) of hemorrhage volume during the surgery in the two groups of with and without bowel preparation was 780.4 ± 290.5 and 931.9 ± 475.0 ml, respectively ($P = 0.046$). The mean hemorrhage volume in the two groups of with and without bowel preparation was 97.3 ± 45.7 and 110.7 ± 55.6 ml ($P = 0.170$) during 24 hours after the surgery and 118.2 ± 74.3 and 138.6 ± 101.5 ($P = 0.230$) during 48 hours after surgery, respectively.

Conclusion: Bowel preparation in patients undergoing spine fusion surgery likely tends to reduce of complications during and after the surgery, particularly bleeding. Therefore, it is suggested in spine surgery and spinal fusion surgeries, to use with bowel preparation for patients.

Keywords: Bowel preparation, Lumbar fusion, Perioperative bleeding

Citation: Rezvani M, Abbasi-Monjazi R. A Study on the Effects of Bowel Preparation on the Rate of Perioperative Bleeding in the Patients Undergone Lumbar Fusion Operation. J Isfahan Med Sch 2016; 34(398): 1049-53.

1- Assistant Professor, Department of Neurosurgery, School of Medicine, Isfahan University of Medical Sciences, Isfahan, Iran
2- Resident, Department of Neurosurgery, School of Medicine, Isfahan University of Medical Sciences, Isfahan, Iran
Corresponding Author: Reza Abbasi-Monjazi, Email: dr.reza.abbasi@gmail.com

طراحی بیوانفورماتیک برای تولید واکسن پپتیدی (VEGF-A) انسانی و ارزیابی آنتی‌بادی پلی‌کلونال اختصاصی آن در موش

فائزه سلطان‌پور غریب‌دوستی^۱, غلامعلی کاردار^۲, بنفشه فاضلی دلشداد^۱, رضا فلک^۳,
مزدک گنجعلی‌خانی حاکمی^۴, علیرضا عندیلیب^۵

مقاله پژوهشی

چکیده

مقدمه: بافت توموری، بدون فرایند آثربوثرن نمی‌تواند بیش از ۲ میلی‌متر مکعب در بدن رشد کند. عامل رشد اندوتیال عروقی (Vascular endothelial growth factor) VEGF نقش حیاتی در این فرایند دارد و مهار آن، می‌تواند به عنوان یکی از راهبردهای ایمنی درمانی سرطان به کار رود.

روش‌ها: توالی پپتیدی ایزوفرم‌های VEGF-A، از پایگاه‌های داده‌ی پروتئینی، انتخاب و با نرم‌افزارهای رایج هم‌استاسازی گردید. اپی‌توب‌های تحریک کننده‌ی پاسخ ایمنی شناسایی و از نظر عدم هم‌پوشانی با سایر پروتئین‌های بدن بررسی شدند. توالی پپتیدی، پس از تولید با Keyhole limpet hemocyanin (KLH) Enzyme-linked immunosorbent assay با روش VEGF-A با کمک پیپتید کونژوگه شده با آلبومین سرم گاوی (BSA) Bovine serum albumin (ELISA) و با کمک پیپتید کونژوگه شده با آلبومین سرم گاوی (BSA) با کارآمدی پیش‌گفته، نتایج حاصل تکرار دیده بودند تیتر آنتی‌بادی VEGF-A در صورت مشاهده شد. الکتروفورز پیپتید کونژوگه با BSA، نشان داد که کونژوگاسیون به طور مؤثری انجام شده و مراحل بهینه‌سازی آزمون ELISA ایلات کرد که در صورت پوشاندن پلیت‌های ELISA با کونژوگه‌ی پیش‌گفته، نتایج حاصل تکرار دیده بودند تیتر آنتی‌بادی VEGF-A در صورت مشاهده شد.

یافته‌ها: توالی پپتیدی ۴۱ اسید ایمنه‌ای انتخابی از نظر بیوانفورماتیک هیچ گونه هم‌پوشانی با سایر پروتئین‌های بدن نشان نداد و از لحاظ نظری، آنتی‌ژنیستیه کافی و توانایی تحریک پاسخ ایمونولوژیک ضد توموری را داشت. با روش ELISA، در موش‌های واکسینه در مقایسه با گروه شاهد افزایش تیتر آنتی‌بادی اختصاصی مشاهده شد. الکتروفورز پیپتید کونژوگه با BSA، نشان داد که کونژوگاسیون به طور مؤثری انجام شده و مراحل بهینه‌سازی آزمون ELISA ایلات کرد که در صورت پوشاندن پلیت‌های ELISA با کونژوگه‌ی پیش‌گفته، نتایج حاصل تکرار دیده بودند تیتر آنتی‌بادی VEGF-A در صورت مشاهده شد.

نتیجه‌گیری: نتایج بر کارآمدی پیپتید کونژوگه با KLH جهت ایمن‌سازی و تولید آنتی‌بادی پلی‌کلونال ضد VEGF-A تأکید داشت. بالا بودن تیتر آنتی‌بادی تولید شده بر ضد این آنتی‌ژن، پیشنهاد می‌کند که این پیپتید، می‌تواند به عنوان تحریک کننده‌ی سیستم ایمنی در مدل حیوانی به کار رود.

واژگان کلیدی: واکسن پپتیدی، ایمونوافورماتیک، پیپتید الایز، عامل رشد اندوتیال رگ

ارجاع: سلطان‌پور غریب‌دوستی فائزه، کاردر غلامعلی، فاضلی دلشداد بنشه، فلک رضا، گنجعلی‌خانی حاکمی مزدک، عندیلیب علیرضا. طراحی بیوانفورماتیک برای تولید واکسن پپتیدی (VEGF-A) Vascular Endothelial Growth Factor-A انسانی و ارزیابی آنتی‌بادی پلی‌کلونال اختصاصی آن در موش.

مجله دانشکده پزشکی اصفهان ۱۳۹۵/۳۴/۱۰۵۹-۱۰۵۴

مقدمه

آثربوثرن به معنی تشکیل رگ خونی جدید از رگ‌های موجود در بدن است که این فرایند جهت رساندن اکسیژن و مواد غذایی برای سلول توموری در حال تکثیر ضروری است. بافت توموری بدون فرایند آثربوثرن، نمی‌تواند بیش از ۲ میلی‌متر مکعب در بدن رشد کند. بنابراین،

مهار مسیر آثربوثرن، می‌تواند یکی از راهبردهای مهم ایمنی درمانی سرطان باشد (۱). آثربوثرن، توسط عوامل مختلفی تنظیم می‌گردد که یکی از مؤثرترین این عوامل، عامل رشد اندوتیال رگ (VEGF) یا Vascular endothelial growth factor (VEGF) می‌باشد که در تمام مراحل رشد تومور بیان می‌شود. ترشح مادام VEGF از سلول‌های توموری و

- ۱- دانشجوی کارشناسی ارشد، گروه ایمونولوژی، دانشکده‌ی پزشکی، دانشگاه علوم پزشکی اصفهان، اصفهان، ایران
- ۲- استادیار، مرکز تحقیقات ایمونولوژی، آسم و آرژی و گروه زیست فن‌آوری‌های نوین پزشکی، دانشکده‌ی پزشکی ایران، تهران، ایران
- ۳- استادیار، مرکز تحقیقات ایمونولوژی، دانشکده‌ی پزشکی، دانشگاه علوم پزشکی ایران، تهران، ایران
- ۴- استادیار، گروه ایمونولوژی، دانشکده‌ی پزشکی، دانشگاه علوم پزشکی اصفهان، اصفهان، ایران
- ۵- استاد، گروه ایمونولوژی، دانشکده‌ی پزشکی، دانشگاه علوم پزشکی اصفهان، اصفهان، ایران

نویسنده‌ی مسؤول: علیرضا عندیلیب

Email: andalib@med.mui.ac.ir

نیز قرار داشت. برای بررسی‌های بیشتر، از پایگاه Bevacizumab داده‌ی Immune epitope data base (IEDB) استفاده گردید و اپی‌توب‌های سلول B و سلول T از نظر ایمونوژنیسیته، هیدروفیویسیته و میزان دسترسی به ناحیه‌ی مورد نظر نیز بررسی شدند.

سپس، برای بررسی عدم هم‌پوشانی این اپی‌توب‌ها با سایر آنتی‌زن‌های موجود در بدن از BLAST استفاده گردید. توالی پیشیدی انتخاب شده به صورت مجزا و متصل به (KLH) Keyhole limpet hemocyanin (www.selleckchem.com) توسط شرکت Selleckchem سازگار شد.

ایمن‌سازی موش آزمایشگاهی جهت تولید آنتی‌بادی پلی‌کلونال ضد VEGF ۱۰ عدد موش BALB/c ماده با سن ۶-۸ هفته، با استفاده از پیتید کونژوگه با KLH ایمونیزه شدند. موش‌های مورد مطالعه، از مرکز نگهداری حیوانات آزمایشگاهی دانشگاه علوم پزشکی ایران تهیه شدند و تمامی مراحل کار شامل ایمن‌سازی و خون‌گیری در این مرکز با رعایت اصول اخلاق کار با حیوانات آزمایشگاهی انجام گردید. پس از ایمن‌سازی اولیه در هفته‌ی صفر، تزریقات یادآور در هفته‌های دوم، چهارم، دهم و سیزدهم صورت گرفت. محلول تزریقی در حجم نهایی ۱۰۰ میکرولیتر به صورت زیر پوستی (Subcutaneous) و بدون استفاده از ادجوانست تزریق گردید. خون‌گیری از موش‌ها، هر دو هفته یک بار و در هفته‌های ابتدایی از گوشه‌ی چشم و در آخرین مرحله، از قلب موش‌ها انجام گرفت. پس از خون‌گیری، سرم موش‌ها جدا شد و در فریزر با دمای -۲۰ درجه‌ی سانتی‌گراد نگهداری گردید.

کونژوگاسیون پیتید VEGF بـ BSA جهت طراحی ELISA پس از خون‌گیری تیتر آنتی‌بادی پلی‌کلونال ضد پیتید سنجیده شد. به طور خلاصه، با توجه به این که پیتید مورد نظر کوچک بود و قدرت اتصال کافی به پلیت ELISA نداشت، از این رو، ابتدا با آلبومین سرم گاوی (BSA) Bovine serum albumin یا (BSA) به عنوان حامل کونژوگه شد و جهت کونژوگاسیون، ابتدا ۰/۵ میلی‌گرم از پیتید در ۰/۵ میلی‌لیتر دی‌متیل سولفوکساید حل شد و به آن، ۱ میلی‌لیتر بی‌کربنات سدیم ۱۰۰ میلی‌مولار حاوی ۲ میلی‌گرم BSA اضافه شد. سپس، ۱ میلی‌لیتر گلوتار آلدئید ۰/۲ درصد اضافه شد و محتویات به مدت ۹۰ دقیقه در دمای ۳۷ درجه‌ی سانتی‌گراد انکوبه شد. سپس، با افزودن ۲۵۰ میکرولیتر سدیم بورهیدرات (و تکرار این مرحله پس از ۱۵ دقیقه) واکنش متوقف شد. جهت حذف مولکول‌های مداخله‌گر محصول نهایی در مقابل بافر فسفات نمکی (PBS) phosphate buffered saline یا Phosphate buffered saline (PBS) دیالیز شد. **Sodium dodecyl sulfate-polyacrylamide gel electrophoresis (SDS-PAGE)** و رنگ‌آمیزی ژل به روش نیترات نقره ۵ میکروگرم از نمونه‌های مورد نظر شامل پیتید، BSA، پیتید کونژوگه با BSA در

داشتن خصوصیات اتوکراین و اندوکراین این عامل رشد، در پیشبرد آنتی‌بیوزن و گسترش و رشد تومور ضروری است (۲). امروزه، رویکردهای درمانی مبتنی بر مکانیسم‌های ضد آنتی‌بیوزن توسعه مجتمع جهانی تأیید شده و در بعضی کشورها این شیوه‌نامه‌های درمانی در حال استفاده و در بعضی دیگر، در مراحل بررسی و تأیید بالینی می‌باشند. داروهای زیستی و مصنوعی، اثرات مهار کننده‌ی خود را در چهار مرحله‌ی کلیدی پیش‌برنده فرایند آنتی‌بیوزن اعمال می‌کنند. مهار کننده‌هایی نظیر راپامایسین و تالیدومید، تولید VEGF را توسط سلول‌های توموری کاهش می‌دهند (۳-۵).

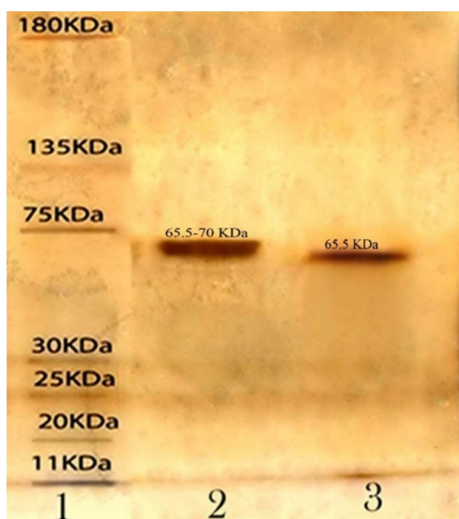
آن‌تی‌بادی‌های مونوکلونال نظیر Bevacizumab (آواتینین یا VEGF-A) و Afiblercept مانع میان‌کنش VEGF محلول با پذیرنده‌ی آن می‌شوند (۶-۸). آنتی‌بادی‌هایی نظیر IMC-1121b به طور مستقیم دسترسی به (VEGFR2) Vascular endothelial growth factor receptor2 مونوکریک را در سطح سلول‌های اندوتیال مسدود می‌کنند. در نهایت این که داروهای مصنوعی کوچک در مسیر پیام‌رسانی گیرنده‌ی VEGF داخل سلولی در سلول‌های توموری تداخل ایجاد می‌کنند (۹-۱۰). در میان رویکردهای جدید ضد آنتی‌بیوزن، این‌می درمانی فعال اختصاصی شاخه‌ای است که امروزه به شدت در حال توسعه می‌باشد. واکسن‌های ضد آنتی‌بیوزن اغلب از DNA پیتید و یا پروتئین‌های خودی نظیر VEGF، پذیرنده‌ی VEGF و سایر مولکول‌های مرتبط با آنتی‌بیوزن تشکیل شده‌اند و بیشتر آنتی‌زن‌های خودی را مورد هدف قرار می‌دهند. با توجه به این که شدت و مدت زمان پاسخ این‌می اختصاصی در برابر آنتی‌زن‌های خودی ضعیف است، به نظر می‌رسد که مسمومیت و اثرات جانبی ناشی از آن‌ها بسیار کمتر از داروهای متعارف شیمی درمانی باشد و به کارگیری این واکسن‌ها در کنار پرتو درمانی، شیمی درمانی و استفاده از سایر آنتی‌بادی‌های ضد آنتی‌بیوزن و محصولات مصنوعی، مانع عود و پیشرفت تومور شود و یا رشد آن را به تأخیر بیندازد (۱۱-۱۵).

روش‌ها

آنالیزهای ایمونوافورماتیک: به منظور تولید آنتی‌بادی پلی‌کلونال ضد VEGF انسانی، ابتدا تمام ایزوفرم‌های انسانی VEGF-A از پایگاه UniProt (www.uniprot.org) استخراج شد. جهت هم‌راستاسازی توالی‌های مختلف VEGF-A از نرم‌افزار Mega-4 (www.mega4software.net) استفاده گردید و با استفاده از این نرم‌افزار، بخش‌های مشترک و محافظت شده در ایزوفرم‌های مختلف VEGF-A مشخص گردید. از میان بخش‌های مشترک و محافظت شده‌ی پیش‌گفت، یک توالی پیشیدی ۴۱ اسید آمینه‌ای انتخاب گردید که در این توالی، بخشی از اپی‌توب هدف آنتی‌بادی مونوکلونال درمانی

خطی مناسب، انعطاف پذیری و هیدروفیسیته‌ی کافی بود و آنتی‌ژنیته‌ی مناسب جهت تحریک سیستم ایمنی علیه VEGF-A (HLA) Human leukocyte antigen (HLA) داشت. همچنین، بر اساس کلاس II شایع در ایران 1103/1104 (HLA-DRB1*)، توالی VEGF از نظر وجود اپی‌توپ‌های محدود به کلاس II بررسی گردید و در نهایت، بر اساس بالاترین امتیازهای به دست آمده در آنالیزهای پیش‌گفته، توالی ۴۱ اسید آمینه‌ای به عنوان واکسن پیتید مناسب در این طرح انتخاب شد.

کونژوگاسیون پیتید به BSA بررسی SDS-PAGE پیتید کونژوگه شده با BSA نشان داد که کونژوگاسیون به طور مؤثری انجام شده است و بنا بر انتظار، باند پیتید کونژوگه با آلبومین، سنگین‌تر از آلبومین بود و باندی در محدوده ۷۰ کیلو Dalton ایجاد کرده بود (شکل ۱).



شکل ۱. بررسی باندهای پروتئینی حاصل از کونژوگاسیون پیتید طراحی شده با آلبومین سرم گاوی بر روی ژل آگارز

ستون ۱: نشانگر استاندارد وزن پروتئین؛ ستون ۲: پیتید کونژوگه با آلبومین سرم گاوی (حدود ۶۵-۷۰ کیلو Dalton) و ستون ۳: آلبومین سرم گاوی (حدود ۶۵ کیلو Dalton). پهن‌تر بودن باند مربوط به پیتید کونژوگه با آلبومین در مقایسه با آلبومین غیر کونژوگه، مؤید کونژوگاسیون مؤثر پیتید با آلبومین سرم گاوی می‌باشد.

بررسی القای تولید آنتی‌بادی پلی‌کلونال ضد پیتید واکسن در موش‌های ایمن شده نسبت به گروه شاهد: از موش‌های مورد مطالعه در هفت‌های صفر، ده و سیزده خون‌گیری صورت گرفت و سرم موش‌ها جهت انجام آزمایش ELISA و بررسی میزان تولید آنتی‌بادی پلی‌کلونال استفاده گردید. نمودار جذب نوری ELISA بر حسب رفت سریال موش‌های ایمن شده نشان داد که تیتر آنتی‌بادی پلی‌کلونال ضد VEGF پس از ایمن‌سازی موش‌ها و به ویژه پس از تزریق دز یادآور، افزایش قابل توجهی یافت (شکل ۲).

کنار استاندارد وزن مولکولی با بافر نمونه‌ی ۲ برابری مخلوط و ۵ دقیقه در ۹۶ درجه‌ی سانتی‌گراد حرارت داده شد و بر روی ژل پلی‌اکریلامید ۱۲/۵ درصد الکتروفورز شد. پس از پایان الکتروفورز، ژل‌ها با روش نیترات نقره (روش Damerval) رنگ‌آمیزی شدند (۱۶). بدین منظور، ژل مورد نظر یک بار با آب مقطر شستشو داده شد و به مدت یک ساعت در محلول ثبیت کننده (۵۰ میلی لیتر متانول به علاوه‌ی ۱۰ میلی لیتر اسید استیک) قرار گرفت تا آب‌گیری شود. سپس، ژل سه بار و هر بار به مدت ۱۵ دقیقه با اتانول ۵۰ درصد شستشو داده شد. سپس، محلول تیوسولفات (۰/۱ درصد) روی ژل افزوده شد و یک دقیقه ژل داخل آن غوطه‌ور گشت. پس از شستشو، محلول نیترات نقره (۰/۱ درصد) روی ژل ریخته شد و ژل شستشو، محلول کربنات سدیم (۶ درصد) اضافه شد تا باندهای پروتئینی ظاهر شوند. پس از ظهور باندها، با افزودن حجم مناسبی از اسید استیک، واکنش متوقف گردید و ژل شسته و اسکن شد.

طراحی پیتید ELISA غیر مستقیم برای بررسی تیتر آنتی‌بادی‌های ضد VEGF پیتید کونژوگه با BSA با غلظت pH ۲۰ میکروگرم در میلی لیتر در بافر بی کربنات ۰/۱ مولار با ۹/۶ تهیه شد و جهت کوت کردن چاهک‌های میکروپلیت ۹۶ خانه‌ای (Maxisorb, Costar, USA) استفاده شد. جهت کوت کردن آنتی‌زن، مقدار ۵۰ میکرولیتر از محلول پیش‌گفته در هر یک از چاهک‌های ELISA اضافه شد و پلیت یک شب در دمای ۴ درجه‌ی سانتی‌گراد انکوبه شد. پس از سه مرتبه شستشو با بافر فسفات نمکی حاوی ۰/۰۵ درصد توین (Tween ۲۰)، فضاهای کوت نشده‌ی چاهک‌ها با کازئین ۵ درصد (محلول در بافر فسفات نمکی) مسدود گردید و پلیت ۲ ساعت در دمای اتاق انکوبه شد. پس از سه بار شستشو، ۵۰ میکرولیتر از رقت‌های سریال‌های سرم به چاهک‌ها اضافه شد و پلیت‌ها به مدت دو ساعت در دمای اتاق انکوبه شدند. پس از هفت بار شستشو به هر چاهک ۵۰ میکرولیتر از سویسترای TMB/H₂O₂ اضافه شد و پس از ۲۰ دقیقه انکوباسیون در دمای اتاق، واکنش با اسید سولفوریک ۲ مولار متوقف شد و جذب نوری در ۴۵۰ نانومتر در مقابل فیلتر ۳۶۰ نانومتر خوانده شد.

روش‌های آماری: تجزیه و تحلیل داده‌ها با آزمون t در نرم‌افزار SPSS نسخه‌ی ۱۵ (version 15, SPSS Inc., Chicago, IL) انجام گردید. P < ۰/۰۵ به عنوان سطح معنی داری در نظر گرفته شد.

نتایج

نتایج آنتالیزهای ایمونوافورماتیک: بررسی ایمونوافورماتیک نشان داد که توالی پیتیدی مشترک و محافظت شده‌ی انتخابی دارای اپی‌توپ‌های

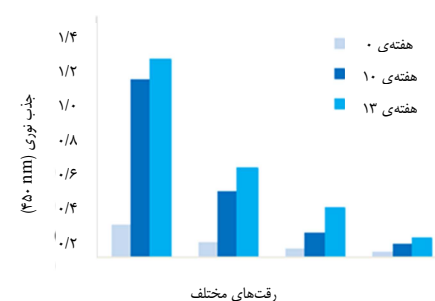
قطع واکسیناسیون کاهش می‌یابد و با اینمان سازی مجدد قابل تقویت است. در این واکسن، از VEGF نوتروکیپ اصلاح شده‌ی انسانی تولید شده در میزان یوکاریوتی Escherichia coli به عنوان آنتی‌ژن و از پروتلوبیوزوم بسیار کوچک استخراج شده از دیواره‌ی خارجی نایسیریا منزیتیدیس به عنوان ادجوانست استفاده شد. همچنین، اینمان سازی موش‌ها با CIGB-247 کاهش رشد تومور و افزایش بقای حیوانات را نشان داد و از طرفی، تولید آنتی‌بادی ضد VEGF نیز مشاهده گردید (۱۳).

بر خلاف مطالعات پیش‌گفته، واکسن پیشنهادی در مطالعه‌ی حاضر بر پایه‌ی پپتید طراحی شد. همان‌طور که انتظار می‌رفت و در نتایج به دست آمده از آنالیز ایمونواغنوماتیک نیز مشاهده شد، بخش پپتیدی انتخاب شده علاوه بر آنتی‌ژنیستیه‌ی کافی و توانایی تحریک سیستم ایمنی دارای مشابهت قابل چشم پوشی با سایر پروتئین‌های بدن است. بنابراین، میزان عوارض ناشی از استفاده از واکسن، کاهش می‌یابد. از طرفی، در واکسن طراحی شده از حامل KLH برای تحریک سیستم ایمنی و شکست تولرانس نسبت به آنتی‌ژن خودی VEGF استفاده شد. بالا بودن تیتر آنتی‌بادی تولید شده در موش‌های واکسینه شده، دلیلی بر کارآمد بودن پپتید کونژوگه با KLH جهت اینمان سازی و تولید آنتی‌بادی پلی‌کلولنال ضد VEGF می‌باشد که در این مورد، نتایج مطالعه‌ی حاضر با یافته‌های مطالعه‌ی راد و همکاران (۱۴) مطابقت داشت و تفاوت این دو پژوهش، در استفاده از پپتید انتخابی به جای توالی کامل پروتئین بود.

در مطالعه‌ی حاضر، تنها اپی‌توپ‌های مؤثر جهت تحریک سیستم ایمنی در توالی هدف قرار داده شدند و پاسخ اختصاصی علیه توالی‌های انتخابی تحریک کننده‌ی پاسخ اینمانی هومورال اختصاصی مورد ارزیابی قرار گرفتند. به علاوه، پاسخ سلول B یا تولید آنتی‌ژنی بادی پلی‌کلولنال ضد پپتید VEGF مورد بررسی قرار گرفت. با توجه به بالا بودن تیتر آنتی‌بادی ضد پپتید، به نظر می‌رسد که پپتید طراحی شده، می‌تواند به عنوان یک واکسن بالقوه برای تحریک سیستم ایمنی و مهار رشد تومور استفاده شود.

تشکر و قدردانی

این طرح پژوهشی با شماره‌ی ۹۲۱۱۴ در معاونت پژوهشی و فن‌آوری دانشگاه علوم پزشکی اصفهان ثبت گردید و توسط این معاونت محترم حمایت مالی گردیده است. پژوهشگران از معاونت پژوهشی و فن‌آوری دانشگاه علوم پزشکی ایران و مدیریت و پرسنل محترم گروه ایمونولوژی دانشگاه علوم پزشکی ایران به خاطر همکاری و استفاده از تسهیلات در انجام این تحقیق سپاسگزاری می‌نمایند.



شکل ۲. خواش جذب نوری Enzyme-linked immunosorbent assay (ELISA)

Vascular endothelial growth factor-A (VEGF-A) در رقت‌های مختلف سرم موش‌ها در هفت‌های صفر، ده و سیزده * و ** نشان می‌دهد که بین هفت‌های صفر و ده و نیز صفر و سیزده در رقت ۱/۱۰۰ $P < 0.0001$ است. سرم استفاده شده در آزمایش ELISA مخلوطی از سرم موش‌ها (Pooled sera) بود. افزایش تیتر آنتی‌بادی پلی‌کلولنال در هفت‌های پس از اینمان سازی و تزریق بوستر نسبت به هفت‌های صفر قابل مشاهده است.

بحث

بافت توموری بدون آنژیوژن نمی‌تواند رشد مناسبی داشته باشد از این رو، مهار مسیرهای دخیل در فرایند آنژیوژن، می‌تواند به عنوان یکی از راهبردهای مهم اینمانی درمانی سرطان استفاده شود. در میان رویکردهای درمانی با هدف مهار آنژیوژن، اینمانی درمانی فعال و طراحی واکسن‌های ضد VEGF و پذیرنده‌ی آن، جایگاه ویژه‌ای دارد (۱۷-۱۸). در این زمینه، Wei و همکاران، اولین واکسن ضد سرطانی VEGF را که یک واکسن اسید نوکلئیکی گزنوژن بود، در فیروسارکوما، سرطان سینه و هپاتوما استفاده کردند و پاسخ آنتی‌بادی بر ضد VEGF و فعال شدن سلول‌های CD4⁺T را بر ضد سلول‌های توموری مشاهده کردند (۱۵).

راد و همکاران، VEGF واکسن کینوئیدی را معرفی کردند که در این واکسن، از اپی‌وفرم‌های انسانی و موشی به همراه KLH استفاده شد که پس از تزریق واکسن همراه ادجوانست فروند به موش‌ها، آنتی‌بادی پلی‌کلولنال ضد VEGF تخلیص گردید. سپس، به بررسی این آنتی‌بادی‌های مهار کننده‌ی VEGF بر روی کارسینومای کولون انسانی و موشی و رابدوسارکومای انسانی پرداختند و به نتایج امیدوار کننده‌ای در مهار رشد تومور دست یافتند (۱۶).

CIGB-247 Morera و همکاران، واکسن اسید نوکلئیکی به نام را معرفی و اینمانی زایی آن را در موش صحرایی، خرگوش و میمون بررسی و گزارش کردند که اینمان سازی با این واکسن، تأثیری بر روی رفتار طبیعی و عوامل هماتلولوژی و بیوشیمی خون و همین طور بافت‌های حیاتی حیوانات آزمایش شده ندارد و تیتر آنتی‌بادی، پس از

References

1. Folkman J. Tumor angiogenesis: therapeutic implications. *N Engl J Med* 1971; 285(21): 1182-6.
2. Tugues S, Koch S, Gualandi L, Li X, Claesson-Welsh L. Vascular endothelial growth factors and receptors: anti-angiogenic therapy in the treatment of cancer. *Mol Aspects Med* 2011; 32(2): 88-111.
3. Humar R, Kiefer FN, Berns H, Resink TJ, Battegay EJ. Hypoxia enhances vascular cell proliferation and angiogenesis in vitro via rapamycin (mTOR)-dependent signaling. *FASEB J* 2002; 16(8): 771-80.
4. Ma L, del Soldato P, Wallace JL. Divergent effects of new cyclooxygenase inhibitors on gastric ulcer healing: Shifting the angiogenic balance. *Proc Natl Acad Sci USA* 2002; 99(20): 13243-7.
5. Sleijfer S, Kruit WH, Stoter G. Thalidomide in solid tumours: the resurrection of an old drug. *Eur J Cancer* 2004; 40(16): 2377-82.
6. Ferrara N, Hillan KJ, Novotny W. Bevacizumab (Avastin), a humanized anti-VEGF monoclonal antibody for cancer therapy. *Biochem Biophys Res Commun* 2005; 333(2): 328-35.
7. Konner J, Dupont J. Use of soluble recombinant decoy receptor vascular endothelial growth factor trap (VEGF Trap) to inhibit vascular endothelial growth factor activity. *Clin Colorectal Cancer* 2004; 4(Suppl 2): S81-S85.
8. Wachsberger PR, Burd R, Cardi C, Thakur M, Daskalakis C, Holash J, et al. VEGF trap in combination with radiotherapy improves tumor control in u87 glioblastoma. *Int J Radiat Oncol Biol Phys* 2007; 67(5): 1526-37.
9. Hersey P, Bastholt L, Chiarion-Silini V, Cinat G, Dummer R, Eggermont AM, et al. Small molecules and targeted therapies in distant metastatic disease. *Ann Oncol* 2009; 20(Suppl 6): vi35-vi40.
10. Lu D, Jimenez X, Zhang H, Bohlen P, Witte L, Zhu Z. Selection of high affinity human neutralizing antibodies to VEGFR2 from a large antibody phage display library for antiangiogenesis therapy. *Int J Cancer* 2002; 97(3): 393-9.
11. Morera Y, Bequet-Romero M, Ayala M, Lamdan H, Agger EM, Andersen P, et al. Anti-tumoral effect of active immunotherapy in C57BL/6 mice using a recombinant human VEGF protein as antigen and three chemically unrelated adjuvants. *Angiogenesis* 2008; 11(4): 381-93.
12. Morera Y, Bequet-Romero M, Ayala M, Perez PP, Castro J, Sanchez J, et al. Antigen dose escalation study of a VEGF-based therapeutic cancer vaccine in non human primates. *Vaccine* 2012; 30(2): 368-77.
13. Morera Y, Bequet-Romero M, Ayala M, Velazco JC, Perez PP, Alba JS, et al. Immunogenicity and some safety features of a VEGF-based cancer therapeutic vaccine in rats, rabbits and non-human primates. *Vaccine* 2010; 28(19): 3453-61.
14. Rad FH, Le Buane H, Paturance S, Larcier P, Genne P, Ryffel B, et al. VEGF kinoid vaccine, a therapeutic approach against tumor angiogenesis and metastases. *Proc Natl Acad Sci USA* 2007; 104(8): 2837-42.
15. Wei YQ, Huang MJ, Yang L, Zhao X, Tian L, Lu Y, et al. Immunogene therapy of tumors with vaccine based on Xenopus homologous vascular endothelial growth factor as a model antigen. *Proc Natl Acad Sci USA* 2001; 98(20): 11545-50.
16. Damerval C, Le Guilloux M, Blaisonneau J, de Vienne D. A simplification of Heukeshoven and Dernick's silver staining of proteins. *Electrophoresis* 1987; 8(3): 158-9.
17. Bellou S, Pentheroudakis G, Murphy C, Fotsis T. Anti-angiogenesis in cancer therapy: Hercules and hydra. *Cancer Lett* 2013; 338(2): 219-28.
18. Suzuki H, Fukuhara M, Yamaura T, Mutoh S, Okabe N, Yaginuma H, et al. Multiple therapeutic peptide vaccines consisting of combined novel cancer testis antigens and anti-angiogenic peptides for patients with non-small cell lung cancer. *J Transl Med* 2013; 11: 97.

Bioinformatic Designing for Producing Vaccine Peptide of Human Vascular Endothelial Growth Factor (VEGF-A), and Evaluation of Polyclonal Antibodies in Mice

Faezeh Soltanpour-Gharibdousti¹, Gholam Ali Kardar², Banafsheh Fazeli-Delshad¹, Reza Falak³, Mazdak Ganjalikhani-Hakemi⁴, Alireza Andalib⁵

Original Article

Abstract

Background: It is stated that in the absence of angiogenesis, the tumoral tissue will not grow beyond 2 mm³. Vascular endothelial growth factor (VEGF) plays a pivotal role in angiogenesis and blockade of this process could be applied as a novel strategy for immunotherapy of cancer.

Methods: Peptide sequences of VEGF-A isoforms were retrieved from protein databases and aligned. Immunodominant epitopes were determined and the selected one was rechecked for dissimilarity with other human proteins. The selected conserved peptide sequence was synthesized and conjugated with Keyhole limpet hemocyanin (KLH). Then, it was applied for immunization of mice. The polyclonal anti-VEGF antibody titer was measured using an indirect peptide-enzyme-linked immunosorbent assay (ELISA) with a Bovine serum albumin (BSA)-conjugated peptide.

Findings: According to bioinformatic findings, the selected 41-aminoacid sequence did not show any similarity with other human proteins and revealed enough antigenicity to stimulate anti-tumor specific responses. A substantial increase of specific antibody titer was observed in vaccinated mice. Sodium dodecyl sulfate-polyacrylamide gel electrophoresis (SDS-PAGE) analysis of the BSA-conjugated peptide showed efficient coupling of the molecules. Optimization steps in ELISA procedures revealed that coating of microtiter plates with BSA-conjugated antigen provided more reproducible outcome than unconjugated peptide.

Conclusion: Our results reinforce the potential of KLH-conjugated peptides for immunization and production of specific polyclonal antibodies against VEGF-A. Production of high-titer antibodies against this antigen indicates that the designed peptide-vaccine could be used as a potential immunogen for stimulation of humoral immune system in animal model.

Keywords: Bioinformatic, Vascular Endothelial Growth Factor (VEGF), Peptide vaccine

Citation: Soltanpour-Gharibdousti F, Kardar GA, Fazeli-Delshad B, Falak R, Ganjalikhani-Hakemi M, Andalib A. **Bioinformatic Designing for Producing Vaccine Peptide of Human Vascular Endothelial Growth Factor (VEGF-A), and Evaluation of Polyclonal Antibodies in Mice.** J Isfahan Med Sch 2016; 34(398): 1054-9.

1- MSc Student, Department of Immunology, School of Medicine, Isfahan University of Medical Sciences, Isfahan, Iran

2- Assistant Professor, Asthma and Allergy Research Institute AND Department of Medical Biotechnology, School of Advanced Technologies in Medicine, Tehran University of Medical Sciences, Tehran, Iran

3- Assistant Professor, Immunology Research Center, School of Medicine, Iran University of Medical Sciences, Tehran, Iran

4- Assistant Professor, Department of Immunology, School of Medicine, Isfahan University of Medical Sciences, Isfahan, Iran

5- Professor, Department of Immunology, School of Medicine, Isfahan University of Medical Sciences, Isfahan, Iran

Corresponding Author: Alireza Andalib, Email: andalib@med.mui.ac.ir

تعیین آزمون‌های (CTDI_W) برای آزمون‌های آنژیوگرافی عروق کرونری در دستگاه‌های ۶۴ CT Scan قطعه‌ای

محمدباقر توکلی^۱, ریحانه فرجی^۲, امیر سجادیه^۳, سلمان جعفری^۴

مقاله پژوهشی

چکیده

مقدمه: استفاده از (CT scan) Computed tomography scan آنژیوگرافی عروق کرونری، به عنوان یک روش تصویربرداری برای ارزیابی غیر تهاجمی بیماری‌های عروق کرونری در حال افزایش است و به همین دلیل، در قابل توجهی از آزمون‌های CT scan را به خود اختصاص می‌دهد. آگاهی از پارامترهای مختلف برای تخمین دز، نقش مهمی در افزایش درک از تابش‌گیری بیماران و در نتیجه، کمک به کاهش دز دارد. به این منظور، در این مطالعه، شاخص وزنی دز CT scan برای آزمون CTDI_W (Weighted computed tomography dose index) آنژیوگرافی عروق کرونری در مراکز پزشکی اصفهان اندازه‌گیری شد.

روش‌ها: با استفاده از اتفاق یونیزاسیون Piranha و فانتوم تنہ اکریلیک با اعمال کیلوولت، میلی‌آمپر ثانیه، ضخامت مقطع و عامل پیچی که به طور معمول در مراکز استفاده می‌شود، مقادیر CTDI_W برای آزمون CT scan آنژیوگرافی عروق کرونری در بیمارستان سینا و مرکز آموزشی-درمانی الزهرا (س) اصفهان، اندازه‌گیری شد.

یافته‌ها: مقدار متوسط CTDI_W مربوط به آزمون CT scan آنژیوگرافی عروق کرونری برای اسکن‌های معمول در بیمارستان سینا و مرکز آموزشی-درمانی الزهرا (س) اصفهان به ترتیب $1/29 \pm 1/22 \pm 6/22 \pm 0/84 = 0/860$ (P) و در حالت کلسیم اسکورینگ (Calcium scoring) برای دو مرکز پیش‌گفته به ترتیب $0/46 \pm 0/42 \pm 0/61$ و $0/46 \pm 0/25 \pm 0/07$ (P).

نتیجه‌گیری: در این مطالعه، مقادیر متوسط CTDI_W مربوط به آزمون CT scan آنژیوگرافی عروق کرونری اختلاف معنی‌داری نداشتند. در حالی که این مقادیر در حالت کلسیم اسکورینگ در دو مرکز اختلاف قابل توجه داشتند. همچنین، مقادیر محاسبه شده در مقایسه با مطالعات دیگر به طور قابل توجهی کمتر بود. با توجه به این که مقادیر دز به دست آمده بسیار به شرایط تابش و شیوه‌نامه‌ای اجرایی وابسته است، بنابراین آموزش و دقت کارشناسان در به کارگیری شرایط تابش و شیوه‌نامه مناسب، باعث کاهش دز و حفاظت پرتویی بیمار می‌شود.

واژگان کلیدی: Computed tomography scan, Multidetector computed tomography, Weighted computed tomography dose index آنژیوگرافی عروق کرونری

ارجاع: توکلی محمدباقر، فرجی ریحانه، سجادیه امیر، جعفری سلمان. تعیین آزمون‌های (CTDI_W) برای آزمون‌های آنژیوگرافی عروق کرونری در دستگاه‌های ۶۴ CT Scan قطعه‌ای. مجله دانشکده پزشکی اصفهان

۱۰۶۰-۱۰۶۵؛ ۳۹۸: ۳۴

مقدمه

امروزه، استفاده از (CT scan) Computed tomography scan به عنوان یک ابزار تشخیصی غیر تهاجمی، به طور چشمگیری رو به افزایش است (۱). این روش، با استفاده از اشعه‌ی ایکس و به کارگیری الگوریتم‌ها و محاسبات کامپیوترا، تصاویر مقطعی و عرضی از اعضای

بدن فراهم می‌کند. در این نوع روش تصویربرداری، تعداد مقاطع یا کanal‌های جمع‌آوری در هر چرخش آگزیال از ۱۶ به ۶۴ قطعه و بیشتر، افزایش یافته است (۲). با توجه به این که بیماری‌های قلبی-عروقی یکی از علل شایع مرگ و میر در جهان گزارش شد و ۶۴ درصد از این موارد مربوط به بیماری‌های عروق کرونری است، در کشور ما نیز این

- استاد، گروه فیزیک پزشکی، دانشکده‌ی پزشکی، دانشگاه علوم پزشکی اصفهان، اصفهان، ایران
- دانشجوی کارشناسی ارشد، گروه فیزیک پزشکی، دانشکده‌ی پزشکی، دانشگاه علوم پزشکی اصفهان، اصفهان، ایران
- استادیار، گروه قلب و عروق، دانشکده‌ی پزشکی، دانشگاه علوم پزشکی اصفهان، اصفهان، ایران
- دانشجوی دکتری، گروه فیزیک پزشکی، دانشکده‌ی پزشکی، دانشگاه علوم پزشکی اصفهان، اصفهان، ایران

نویسنده‌ی مسؤول: ریحانه فرجی

Email: reihanefaraji@yahoo.com

روش‌ها

برای تعیین دز در CT scan، روش‌های مختلفی مورد استفاده قرار می‌گیرد. یکی از روش‌های مورد استفاده CTDI_W است که به منظور تعیین مقدار دز طی آزمون CT scan پذیرفته شده است. بدین منظور، فانتوم تن به جنس آکریلیک با قطر ۳۲ و طول ۱۶ سانتی‌متر با چگالی ۱/۱۳ گرم بر سانتی‌متر مکعب و عدد اتمی مؤثر ۶/۴۸ نزدیک به بافت باعث شده است جهت انجام دزیمتری بسیار مناسب باشد (۱۲).

از اتاقک یونیزاسیون (Piranha X-ray Analyzer,) RTI electronics and Sweden حساس ۱۰ سانتی‌متر استفاده شد. این اتاقک، قبل از استفاده در آزمایشگاه Secondary standard dosimetry laboratory (SSDL) واقع در کرج کالیبره شد.

این اتاقک، مقادیر CTDI₁₀₀ را بر حسب میلی‌گری طبق برنامه‌ای که از قبیل برای آن تعریف شده بود، اندازه گیری می‌نمود و از طریق کابل یا بلوتوث، مقادیر به دست آمده روی رایانه ذخیره می‌شد. در اصفهان، آزمون آنژیوگرافی عروق کرونری، در بیمارستان سینا و مرکز آموزشی - درمانی الزهرا (س) انجام می‌شد. دستگاه‌های مورد استفاده در این مرکز به ترتیب Philips- MDCT- 64 Slice Light Speed VCT- MDCT- 64 Slice

در CT scan آنژیوگرافی عروق کرونر، به پارامترهای نظری ولتاژ و جریان توب، طول اسکن، ضخامت مقطع و عامل پیچ وابسته است. ابتدا فرم‌هایی که شامل اطلاعاتی درباره همین پارامترها بود، تهیه و برای ۷۰ بیمار در هر دو مرکز این فرم‌ها تکمیل شد و با توجه به اطلاعات به دست آمده، معمول‌ترین شرایط مورد استفاده در آزمون CT scan آنژیوگرافی عروق کرونری انتخاب گردید (جدول ۱).

مسئله حائز اهمیت می‌باشد و از این رو، وجود روشی جهت تشخیص بیماری‌های عروق کرونری ضروری است (۳-۴).

دستگاه‌های CT scan قطعه‌ای قابلیت تصویربرداری غیر تهاجمی از عروق کرونری را دارند و قادر به نمایش پلاک و استنوزیس در جداره‌ی عروق کرونری هستند (۵-۷). این دستگاه‌ها، با استفاده از الگوریتم‌های خاص نرم‌افزاری، تصاویر سه بعدی در مقاطع گوناگون کرونال، آگریال و ساجیتال از اندام‌های مختلف از جمله اندام‌های متحرک مانند قلب فراهم می‌کنند (۸). با وجود مزایا و پیشرفت‌های اخیر در بهبود رزولوشن فضایی و زمانی که به وسیله‌ی عرض آشکارساز نازک‌تر و میزان پیچ کمتر برای اکساب داده‌ها در CT scan قلب فراهم شده، استفاده از این روش تصویربرداری، اغلب با افزایش دز تابشی همراه است (۹-۱۰).

دز جذبی بافت‌ها در CT scan آنژیوگرافی، جزء بالاترین دزهای دریافتی توسط بیماران در روش‌های تصویربرداری پیشکشی است و این دزها اغلب نزدیک یا بیشتر از سطوح دز افزایش دهنده‌ی خطر ابتلا به سرطان هستند (۱۱)، بنابراین، در استفاده از آزمون‌های آنژیوگرافی، بایستی منافع و خطرات آن برای بیماران در نظر گرفته شود. برای دستیابی به این هدف، یکی از اصول مهم بهینه‌سازی در هنگام استفاده از آزمون‌های CT scan آنژیوگرافی، محدود ساختن دز دریافتی بیماران با توجه به اصول حفاظت پرتوی می‌باشد که لازمه‌ی آن، آگاهی از میزان دز دریافتی بیمار است. بدین منظور، می‌توان از کمیت شاخص وزنی دز (CTDI_W یا Weighted computed tomography dose index) CT scan استفاده نمود. این کمیت، می‌تواند برای پزشکان در انتخاب روش تشخیصی مناسب‌تر و برای تکنولوژیست‌ها، در انتخاب کمترین شرایط تابش به منظور بهینه‌سازی میان دز بیمار و کیفیت تصویر بسیار مؤثر باشد.

جدول ۱. پارامترهای تابشی مورد استفاده در این مطالعه

نام مرکز	مدل دستگاه	آزمون‌ها	کیلوولت	میلی‌آپر	ضخامت قطعه	عامل پیچ
بیمارستان الزهرا (س)	Light Speed VCT-MDCT-64 Slice	کلسم اسکورینگ	۱۰۰	۴۳۰	۲/۵	۰/۵
سینا	Philips-MDCT-64 Slice	کلسم اسکورینگ	۱۲۰	۵۰	۲/۵	۰/۵
		اسکن اصلی	۱۲۰	۴۰۰	۱/۲۵	۰/۵
		اسکن اصلی	۱۲۰	۵۰۰	۱/۲۵	۰/۵
		اسکن اصلی	۱۲۰	۶۰۰	۱/۲۵	۰/۵
		اسکن اصلی	۱۲۰	۵۵	۲/۵	۰/۵
		اسکن اصلی	۱۲۰	۱۰۰	۲/۵	۰/۵
		اسکن اصلی	۱۲۰	۵۰۰	۰/۶	۰/۵
		اسکن اصلی	۱۲۰	۶۰۰	۰/۶	۰/۵
		اسکن اصلی	۱۲۰	۸۰۰	۰/۶	۰/۵

جدول ۲. مقادیر $CTDI_w$ به دست آمده در مراکز مورد مطالعه

نوع اسکن	نام مراکز	بیشینه	کمینه	میانگین \pm انحراف معیار	چارک سوم	مقدار P
کلسیم اسکورینگ	بیمارستان الزهرا (س)	۰/۶۸۵	۰/۳۴۳	۰/۴۶۸ \pm ۰/۱۹۰	۰/۵۳۱	۰/۰۰۷
	بیمارستان سینا	۲/۸۷۴	۱/۶۷۱	۲/۳۵۴ \pm ۰/۶۱۰	۲/۶۱۴	۰/۸۳۲
آنژیوگرافی کرونری CT scan	بیمارستان الزهرا (س)	۸/۰۶۵	۴/۸۳۲	۶/۲۲۱ \pm ۱/۲۹۰	۷/۷۲۳	۰/۸۶۰
	بیمارستان سینا	۷/۳۵۸	۴/۶۵۷	۵/۲۹۹ \pm ۰/۸۴۰	۶/۶۰۳	۰/۸۴۰

$CTDI_w$: Weighted computed tomography dose index; CT scan: Computed tomography scan

کرونری برای اسکن‌های معمول مورد استفاده در بیمارستان سینا $۰/۰۰۷$ و $۰/۸۳۲$ و $۰/۸۴۰$ به دست آمد. با استفاده از آزمون ANOVA مقایسه‌ی مقادیر $CTDI_w$ مربوط به کلسیم اسکورینگ در دو مرکز صورت گرفت و اختلاف قابل توجهی مشاهده شد ($P = ۰/۰۰۷$).

مقادیر مربوط به کل آزمون CT scan آنژیوگرافی عروق کرونری نیز با یکدیگر اختلاف معنی‌داری نداشتند ($P = ۰/۸۶۰$) (جدول ۲).

چارک سوم شخص پرآنکدگی است و گستردگی داده‌ها را به منظور مقایسه با مقادیر مطالعات دیگر نسبت به میانگین دقیق‌تر نشان می‌دهد. از طرفی، چارک سوم $CTDI_w$ به عنوان دز رفرنس در CT scan تعريف می‌شود (۱۵، ۱). در این تحقیق، به علت تعداد کم مراکز نمی‌توان این مقدار را تحت عنوان Diagnostic references level (DRL) معرفی کرد. بنابراین، مقادیر چارک سوم به دست آمده در این مطالعه، به عنوان دز مرجع پیشنهاد شد (جدول‌های ۲ و ۳).

بحث

در CT scan، پارامترهای مختلفی مانند کیلوولتاز، میلی‌آمپر ثانیه، ضخامت قطعه و عامل پیچ روی $CTDI_w$ اثر می‌گذارند. با افزایش کیلوولتاز و میلی‌آمپر ثانیه، $CTDI_w$ نیز افزایش می‌یابد و با کاهش پیچ به مقدار کمتر از یک، دز اندازه‌گیری شده نیز افزایش می‌یابد (۱۶). در این مطالعه، از پارامترهای معمول مورد استفاده در CT scan نظری لتاژ و جریان تیوب، ضخامت مقطع و عامل پیچ استفاده شده در دو بیمارستان سینا و الزهرا (س)، کیلوولتاز، ضخامت قطعه و عامل پیچ به طور تقریبی یکسان انتخاب شدند و میلی‌آمپر، عامل متغیر بود. همان‌طور که دیده می‌شود، با افزایش میلی‌آمپر، $CTDI_w$ نیز افزایش می‌یابد. طبق جدول ۱ و ۲، مقادیر $CTDI_w$ در حالت کلسیم اسکورینگ در دو مرکز، اختلاف قابل توجهی داشتند که مقدار آن در بیمارستان سینا کمتر بود. این مسئله، به دلیل میلی‌آمپر ثانیه‌ی کمتری بود که در انجام مرحله‌ی کلسیم اسکورینگ در این مرکز استفاده می‌شد، اما مقدار $CTDI_w$ در آزمون اصلی CT scan آنژیوگرافی عروق کرونری در دو مرکز صرف نظر از مدل متفاوت دستگاه‌های CT scan اختلاف معنی‌داری نداشتند.

برای کل آزمون CT scan آنژیوگرافی عروق کرونر و برای مرحله‌ی اول CT scan آنژیوگرافی عروق کرونر که کلسیم اسکورینگ (Calcium scoring) بود، اندازه‌گیری شد. به علت کلیفیکه‌ی شدید عروق کرونر، برای برخی بیماران، فقط مرحله‌ی کلسیم اسکورینگ انجام شد.

ابتدا، فانتوم تنه روی سطح تخت تنظیم شد. سپس، اتفاق یونیزاسیون در حفره‌ی مرکزی فانتوم قرار گرفت و حفره‌های جانبی به وسیله‌ی میله‌های آکریلیک پر شد. با استفاده از فرم‌های تکمیل شده، شیوه‌نامه‌های معمول مورد استفاده در این مراکز مشخص گردید. سپس، با اعمال این شیوه‌نامه‌ها طی سه بار اسکن، فانتوم تحت تابش قرار گرفت و در مرحله‌ی بعد، همین روند برای حفره‌های جانبی فانتوم (ساعات ۶، ۹ و ۱۲) انجام گرفت و خوانش‌های اتاقک ثبت شد. سپس، با استفاده از معادله‌ی (۱) مقدار $CTDI_w$ به دست آمد:

$$(1) \quad CTDI_w = \frac{1}{N} \int_{-50\text{mm}}^{+50\text{mm}} D(z) dz$$

$D(z)$ پروفایل دز تابش در محور Z N تعداد دتکتورهای فعال در یک چرخش ۳۶۰ درجه‌ی تیوب اشعه‌ی ایکس و T، ضخامت مقطع توموگرافی در طول محور Z است (۱۳-۱۴). پس از به دست آوردن با استفاده از معادله‌ی زیر، $CTDI_w$ محاسبه شد:

$$(2) \quad CTDI_w = \frac{1}{3} CTDI_C + \frac{1}{3} CTDI_P$$

$CTDI_C$ میانگین خوانش‌ها در حفره‌ی مرکزی و $CTDI_P$ میانگین خوانش‌ها در حفره‌های محیطی برای هر شیوه‌نامه می‌باشد (۹-۱۰).

یافته‌ها

در این مطالعه، محاسبه‌ی مقادیر $CTDI_w$ برای اسکن‌های معمول در دو مرکز سینا و الزهرا (س)، در شهر اصفهان انجام شد. مقادیر $CTDI_w$ برای حالت کلسیم اسکورینگ (مرحله‌ی قبل از تریک ماده‌ی حاجب) در آزمون CT scan آنژیوگرافی عروق کرونر نیز به طور جداگانه محاسبه گردید. طبق جدول ۱، مقادیر بیشینه، کمینه و متوسط $CTDI_w$ در حالت کلسیم اسکورینگ برای بیمارستان سینا به ترتیب $۰/۳۴۳$ ، $۰/۳۷۷$ و $۰/۱۹۰$ و $۰/۶۸۵ \pm ۰/۱۹۰$ و برای مرکز آموزشی-درمانی الزهرا (س) $۲/۸۷۴ \pm ۰/۶۱۰$ و $۱/۶۷۱ \pm ۰/۸۴۰$ به دست آمد. مقادیر بیشینه، کمینه و متوسط $CTDI_w$ مربوط به کل آزمون CT scan آنژیوگرافی عروق

جدول ۳. مقادیر به دست آمده در این مطالعه و سایر مطالعات

CTDI _W (میلی گری)	تعداد مقاطع × ضخامت	عامل پیچ	میلی آمپر	میلی آمپر	کیلوولت	تکنیک مورد استفاده	آزمون‌ها	مراکز	مطالعات
۰/۵۳۱	۱ × ۲/۵۰	۰/۵۰۰	۵۰-۱۰۰	-	۱۲۰	-	کلسیم اسکورینگ	بیمارستان	مطالعه‌ی
۷/۷۲۳	۱ × ۰/۶۰	۰/۵۰۰	۵۰۰-۸۰۰	-	۱۲۰	-	آنژیوگرافی کرونری CT scan	سینا	حاضر
۲/۶۱۴	۱ × ۲/۵۰	۰/۵۰۰	۲۵۰-۴۳۰	-	۱۰۰	-	کلسیم اسکورینگ	بیمارستان	
۶/۶۰۳	۱ × ۲/۵۰	۰/۵۰۰	۴۰۰-۶۰۰	-	۱۲۰	-	آنژیوگرافی کرونری CT scan	الزهرا (س)	
۴/۷۰	۴ × ۲/۵۰	۱/۰۰۰	۱۴۰	۵۰	۱۲۰	Triggered	کلسیم اسکورینگ	مرکز ۱	Richard
۴/۷۰	۴ × ۲/۵۰	۰/۳۷۵	۱۰۰	۵۰	۱۲۰	Gated			به نقل از
۱۷/۱۰	۴ × ۱/۰۰	۰/۳۷۵	۳۰۰	۱۵۰	۱۲۰	Gated	آنژیوگرافی کرونری CT scan		توکلی و همکاران (۴)
۴/۷۰	۴ × ۲/۵۰	۱/۰۰۰	۱۵۰	۵۰	۱۲۰	Triggered	کلسیم اسکورینگ	مرکز ۲	
۷/۶۰	۴ × ۲/۵۰	۰/۳۷۵	۱۵۰	۷۵	۱۲۰	Gated			
۲۰/۷۰	۴ × ۱/۲۵	۰/۳۷۵	۳۰۰	۱۵۰	۱۲۰	Gated	آنژیوگرافی کرونری CT scan		
۴/۶۰	۴ × ۲/۵۰	۱/۰۰۰	۱۴۰	۵۰	۱۲۰	Triggered	کلسیم اسکورینگ	مرکز ۱	Schoepf
۴/۷۰	۴ × ۲/۵۰	۰/۳۷۵	۱۰۰	۵۰	۱۲۰	Gated			به نقل از
۱۷/۲۵	۴ × ۱/۰۰	۰/۳۷۵	۳۰۰	۱۵۰	۱۲۰	Gated	آنژیوگرافی کرونری CT scan		بوزرجمهری و همکاران (۱۲)
۴/۷۰	۴ × ۲/۵۰	۱/۰۰۰	۱۵۰	۵۰	۱۲۰	Triggered	کلسیم اسکورینگ	مرکز ۲	
۷/۶۰	۴ × ۲/۵۰	۰/۳۷۵	۱۵۰	۷۵	۱۲۰	Gated			
۲۰/۶۲	۴ × ۱/۲۵	۰/۳۷۵	۳۰۰	۱۵۰	۱۲۰	Gated	آنژیوگرافی کرونری CT scan		
۱۰/۰۰	۴ × ۱/۲۵	۰/۲۰۰	۲۶۳-۸۰۰	-	۱۲۰	-	آنژیوگرافی کرونری CT scan	Dixon	و همکاران (۱۲)

CTDI_W: Weighted computed tomography dose index; CT scan: Computed tomography scan

از تکنیک retrospective gating به ترتیب ۴/۶۷ و ۷/۶۲ میلی گری گزارش گردید. همچنین، مقدار CTDI_W برای CT scan آنژیوگرافی عروق کرونری برای تکنیک retrospective gating به ترتیب در دو مرکز ۱۷/۲۵ و ۲۰/۶ میلی گری گزارش شد (۱۸). بنابراین، مقادیر CTDI_W که در این مطالعه محاسبه شده است، در مقایسه با مقادیری که مطالعات دیگر به دست آوردنده، به طور قابل توجهی کمتر است. به طور کلی، این مسئله می‌تواند به علت کالیبره بودن دستگاه، مهارت بیشتر تکنسین‌ها در انتخاب شرایط تابش مناسب و نوع اسکنر و از همه مهم‌تر، گزینه‌ی Care dose در هنگام کار با دستگاه باشد. همان‌طور که در جدول‌های ۲ و ۳ آمده است، مقادیر چارک سوم CTDI_W که نشان دهنده‌ی ذر است، بسته به پارامترهای تابش مورد استفاده، تغییرات بسیار زیادی دارد و از این‌رو، کارشناسان تصویربرداری نقش مهمی در بهینه‌سازی شیوه‌نامه‌ی تصویربرداری و کاهش ذر ایفا خواهند کرد. به همین دلیل، باید آموزش‌های لازم در این زمینه را فرا گیرند تا با به کارگیری شرایط تابش مناسب، ضمن حفظ کیفیت تصویر، ذر تابشی کمتری به بیمار تحمیل شود. همچنین، به دلیل این که در مدت زمان کوتاهی پس از کالیبریون، دستگاه از کالیبره خارج می‌شود، در طول استفاده از دستگاه، مشکلاتی حین انتخاب بهترین عامل تابش به وجود خواهد

در مطالعات دیگر نیز CTDI_W برای CT scan آنژیوگرافی عروق کرونری با استفاده از روش‌های مختلف محاسبه شده است. Morin و همکاران، طی مطالعه‌ی مروری که انجام دادند، مقدار مربوط به CTDI_W کلسیم اسکور و آنژیوگرافی کرونری را در دو نوع دستگاه Multiple detector computed tomography (MDCT) به دست آورده‌اند که در مرکز اول برای کلسیم اسکور با استفاده از دو تکنیک Retrospective gating و Prospective triggering می‌گردند و در مرکز دوم، برای MDCT ۴ میلی گری و در ۱۷/۱ Retrospective gating ۷/۶ میلی گری و در مرکز دوم، برای Prospective triggering ۷/۶ Retrospective gating ۴ میلی گری و با تکنیک کلسیم اسکور با ۷/۶ Retrospective gating آنژیوگرافی عروق کرونری با ۲۰ میلی گری گزارش گردید (۵).

در مطالعه‌ی Treier و همکاران، مقدار CTDI_W برای CT scan آنژیوگرافی قلب، ۱۰ میلی گری و برای CT scan آنژیوگرافی قابی و عروقی ۵۰ میلی گری گزارش گردید (۱۷). در کتاب اصول قلب نوشته‌ی Schoepf مقدار CTDI_W برای کلسیم اسکور با استفاده از تکنیک Prospective triggering برای دو دستگاه MDCT2 و MDCT1 به ترتیب ۴/۶ و ۴/۷ میلی گری و با استفاده

کارشناس تصویربرداری در این زمینه، میزان دز دریافتی بیمار را تا حد قابل قبولی کاهش داد.

تشکر و قدردانی

این مقاله حاصل پایان‌نامه‌ی دوره‌ی کارشناسی ارشد به شماره‌ی طرح ۳۹۴۴۲۹ مصوب دانشگاه علوم پزشکی اصفهان می‌باشد. بدین وسیله، از حمایت‌های معاونت پژوهش و فن‌آوری تحصیلات تکمیلی این دانشگاه سپاسگزاری می‌گردد. نویسنده‌ان لازم می‌دانند مراتب قدردانی و تشکر خود را از کارشناسان بیمارستان الزهرا (س) و سینای اصفهان و ریاست محترم بیمارستان سینا جناب آقای دکتر مهدی کیانی جهت همکاری و راهنمایی هایشان تقدیم دارند. به ویژه، از سرکار خانم زهرا علیرضایی بابت راهنمایی‌های فراوان در طی مراحل انجام تحقیق، سپاسگزاری می‌گردد.

آمد که این مسئله، سبب افزایش دز می‌شود. بنابراین، کنترل کیفی در زمان مناسب برای دستگاه‌های CT scan آنژیوگرافی و ارایه‌ی شیوه‌نامه‌ی اسپوژر مناسب به تکنولوژیست‌های CT scan برای کاهش دز بیمار توصیه می‌شود.

دزیمتری دستگاه CT scan آنژیوگرافی عروق کرونری با استفاده از فاتحوم اکریلیک و اتاقک یونیزاسیون در اصفهان تا پیش از انجام این مطالعه انجام نگرفته بود. در این مطالعه، با استفاده از این روش، CT scan که نشان دهنده‌ی دز CT scan CTDI_W آنژیوگرافی عروق کرونری در مراکز اصفهان محاسبه شد. این کمیت در انتخاب کمترین شرایط تابش و از نظر مسایل حفاظتی بیمار مؤثر است که با توجه به وابستگی آن به شیوه‌نامه‌ی اجرایی و پارامترهایی از قبیل ولتاژ و جریان تیوب، طول اسکن، ضخامت مقطع و عامل پیچ، می‌توان با به کار بردن شیوه‌نامه با شرایط مناسب و آموزش کافی

References

- Afzalipour R, Mahdavi S, Khosravi H, Neshasteh-Riz A, Fatemeh Hosseini A. Evaluation of diagnostic reference dose levels in CT- scan examinations of adolescence in Tehran: a brief report. *Tehran Univ Med J* 2013; 71(2): 122-7. [In Persian].
- Sabarudin A, Sun Z. Radiation dose measurements in coronary CT angiography. *World J Cardiol* 2013; 5(12): 459-64.
- Tavakoli MB, Heydari K, Jafari S. Evaluation of diagnostic reference levels for CT scan in Isfahan. *Global Journal of Medicine Researches and Studies* 2014; 1(4): 130-4.
- Tavakoli HM, Jabari K, Salman J. SU-E-I-51: Investigation of absorbed dose to the skin, eyes and thyroid of patients during CT angiography and comparison with conventional angiography. *Med Phys* 2012; 39(6): 3636.
- Morin RL, Gerber TC, McCollough CH. Radiation dose in computed tomography of the heart. *Circulation* 2003; 107(6): 917-22.
- Earls JP, Berman EL, Urban BA, Curry CA, Lane JL, Jennings RS, et al. Prospectively gated transverse coronary CT angiography versus retrospectively gated helical technique: improved image quality and reduced radiation dose. *Radiology* 2008; 246(3): 742-53.
- Burrill J, Dabbagh Z, Gollub F, Hamady M. Multidetector computed tomographic angiography of the cardiovascular system. *Postgrad Med J* 2007; 83(985): 698-704.
- Greffier J, Macri F, Larbi A, Fernandez A, Khasanova E, Pereira F, et al. Dose reduction with iterative reconstruction: Optimization of CT protocols in clinical practice. *Diagn Interv Imaging* 2015; 96(5): 477-86.
- Najafi M, Deevband MR, Ahmadi M, Kardan MR. Establishment of diagnostic reference levels for common multi-detector computed tomography examinations in Iran. *Australas Phys Eng Sci Med* 2015; 38(4): 603-9.
- Gorycki T, Lasek I, Kaminski K, Studniarek M. Evaluation of radiation doses delivered in different chest CT protocols. *Pol J Radiol* 2014; 79: 1-5.
- Shahbazi-Gahrouei D, Baradaran-Ghahfarokhi M. Assessment of entrance surface dose and health risk from common radiology examinations in Iran. *Radiat Prot Dosimetry* 2013; 154(3): 308-13.
- Dixon R, Anderson J, Bakalyar D, Boedeker K, Boone J, Cody D, et al. Comprehensive methodology for the evaluation of radiation dose in x-ray computed tomography. Report of AAPM Task Group: The Future of CT Dosimetry. College Park, MD: American Association of Physicists in Medicine; 2010.
- Bouzarjomehri F, Zare MH, Shahbazi D. Conventional and spiral CT dose indices in Yazd general hospitals, Iran. *Iran J Radiat Res* 2006; 3(4): 183-9.
- Saravanakumar A, Vaideki K, Govindarajan K N, Jayakumar S. Establishment of diagnostic reference levels in computed tomography for select procedures in Pudhuchery, India. *J Med Phys* 2014; 39(1): 50-5.
- Janbabanezhad TA, Shabestani-Monfared A, Deevband MR, Abdi R, Nabahati M. Dose assessment in computed tomography examination and establishment of local diagnostic reference levels in Mazandaran, Iran. *J Biomed Phys Eng* 2015; 5(4): 177-84.
- Tsapaki V, Rehani M. Dose management in CT facility. *Biomed Imaging Interv J* 2007; 3(2): e43.
- Treier R, Aroua A, Verduin FR, Samara E, Stuessi A, Trueb PR. Patient doses in CT examinations in Switzerland: implementation of national diagnostic reference levels. *Radiat Prot Dosimetry* 2010; 142(2-4): 244-54.
- Schoepf UJ. CT of the Heart: principles and applications. New York, NY: Springer Science and Business Media; 2007.

Determination of the Weighted Computed Tomography Dose Index in Coronary Multidetector Computed Tomography Angiography

Mohammad-Bagher Tavakoli¹, Reihaneh Faraji², Amir Sajjadieh³, Salman Jafari⁴

Original Article

Abstract

Background: Multislice computed tomography (CT) angiography is a robust imaging method for noninvasive assessment of coronary artery diseases, which is associated with high radiation dose. Having knowledge of the various parameters used to estimate the dose plays an important role in increasing the understanding of dose delivered to patients and help operators and technologist to reduce the dose. In this research, the amounts of Weighted Computed Tomography Dose Index (CTDI_W) for coronary CT angiography exams were measured in Isfahan city, Iran.

Methods: To calculate the dose, an ionization chamber (Piranha, X-ray Analyzer, RTI Electronics and Sweden) and acrylic body phantom were used. Common conditions of coronary CT angiography used in two centers were applied for this project. Finally, CTDI_W of all the scans were calculated using the related formulation.

Findings: The amount of mean CTDI_W for calcium score exams in Sina and Alzahra hospitals were 0.468 ± 0.190 and 2.354 ± 0.610 mGy, respectively ($P = 0.007$); and for coronary CT angiography scans in Sina and Alzahra hospitals were 6.221 ± 1.290 and 5.299 ± 0.840 mGy, respectively ($P = 0.860$).

Conclusion: CTDI_W for the calcium score was significantly different in the two centers, but there was not significant difference in the two centers for coronary CT angiography scans. In this study, the amount of CTDI_W was much lower than the measured in other centers. Since scan parameters have an important effect on the dose value, training and precision of technologist result in dose reduction and patient radiation protection.

Keywords: Weighted computed tomography dose index (CTDI_W), Multidetector computed tomography (MDCT), Coronary computed tomography angiography (CCTA)

Citation: Tavakoli MB, Faraji R, Sajjadieh A, Jafari S. Determination of the Weighted Computed Tomography Dose Index in Coronary Multidetector Computed Tomography Angiography. J Isfahan Med Sch 2016; 34(398): 1060-5.

1- Professor, Department of Medical Physics and Engineering, School of Medicine, Isfahan University of Medical Sciences, Isfahan, Iran
2- MSc Student, Department of Medical Physics and Engineering, School of Medicine, Isfahan University of Medical Sciences, Isfahan, Iran

3- Assistant Professor, Department of Cardiology, School of Medicine, Isfahan University of Medical Sciences, Isfahan, Iran
4- PhD Student, Department of Medical Physics and Engineering, School of Medicine, Isfahan University of Medical Sciences, Isfahan, Iran

Corresponding Author: Reihaneh Faraji, Email: reihanefaraji@yahoo.com

مقایسه‌ی شیوع یافته‌های آندوسکوپی در بیماران همودیالیز با دیالیز صفاقی در افراد کاندیدای پیوند کلیه

afsoon amami nainini^۱, mazkan mrtضوی^۲, آذین آذربایجانی^۳, بابک حسینزاده^۴, سید محسن حسینی^۵, پیمان ادبی^۶

مقاله پژوهشی

چکیده

مقدمه: بیماری مرحله‌ی انتها کلیه (ESRD) یا End stage renal disease یک بیماری در حال افزایش و پیوند کلیه، بهترین درمان آن است. بیماران قبل از پیوند کلیه، تحت درمان جایگزین همودیالیز و دیالیز صفاقی قرار می‌گیرند. وجود یکی از مشکلات گوارشی نظیر زخم پستیک، کله‌سیستیت، بیماری‌های کولون و بدخیمی‌های دستگاه گوارش، خطر مشکلات بعد از پیوند را افزایش می‌دهد. هدف از انجام این مطالعه، بررسی ارتباط بین یافته‌های آندوسکوپی و نوع دیالیز در بیماران کاندیدای پیوند کلیه بود.

روش‌ها: در این مطالعه، ۳۳۴ بیمار کاندیدای پیوند کلیه در سال‌های ۱۳۸۵-۹۰ به صورت سرشماری و با مطالعه‌ی پرونده‌های این بیماران با تکمیل پرسش‌نامه در دو بیمارستان الزهرا (س) و نور و حضرت علی اصغر (ع) اصفهان مورد بررسی قرار گرفت.

یافته‌ها: بیشترین یافته‌ی آندوسکوپی در بیماران، هیاتال هرنیا با شیوع ۲۹ درصد بود. بعد از آن، به ترتیب Erosion (۱۷/۱ درصد)، Erosion آنتر (۱۵/۶ درصد) شایع‌تر بودند و هیچ مورد آرتیوپلاسٹیک دیده نشد. با مقایسه‌ی میزان شیوع یافته‌های آندوسکوپی در دو درمان متفاوت جایگزین قبل از پیوند، تفاوت معنی‌داری بین دو گروه همودیالیز و دیالیز صفاقی مشاهده نشد. در مطالعه‌ی حاضر، میانگین هموگلوبین در بیماران همودیالیز ۱۰/۸ و در بیماران دیالیز صفاقی ۱۰/۵ گرم بر دسی لیتر به دست آمد که تفاوت آن‌ها معنی‌دار نبود.

نتیجه‌گیری: به نظر می‌رسد، بین نوع درمان جایگزینی پیوند و شیوع یافته‌های آندوسکوپی و همچنین، غلظت هموگلوبین با نوع درمان جایگزین قبل از پیوند، ارتباط معنی‌داری وجود ندارد، اما انجام مطالعات تکمیلی جهت روشن‌تر شدن این موضوع توصیه می‌گردد.

وازگان کلیدی: یافته‌های آندوسکوپی، دیالیز صفاقی، همودیالیز، پیوند کلیه

ارجاع: امامی نائینی افسون، مرتضوی مژگان، آذربایجانی آذین، حسین‌زاده بابک، حسینی سید محسن، ادبی پیمان. **مقایسه‌ی شیوع یافته‌های آندوسکوپی در بیماران همودیالیز با دیالیز صفاقی در افراد کاندیدای پیوند کلیه.** مجله دانشکده پزشکی اصفهان ۱۳۹۵؛ ۳۴(۳): ۱۰۷۰-۱۰۶۶.

دیالیز وجود دارد که سالانه ۱۷ درصد به این تعداد افزوده می‌شود (۳). برای جلوگیری از اثرات نامطلوب تجمع مواد زاید در بدن، روش‌های مختلفی وجود دارد (۴). دو درمان اولیه و اصلی برای ESRD و جلوگیری از تجمع مواد زاید خون در بدن، دیالیز و پیوند می‌باشند. دو نوع دیالیز در دو نوع دیالیز خونی و دیالیز صفاقی انجام می‌شود. دیالیز مزمن، به طور معمول زمانی آغاز می‌شود که هیچ علت آشکار برگشت پذیری برای نارسایی کلیه وجود نداشته باشد.

مقدمه

بیماری مرحله‌ی انتها کلیه (ESRD) یا End-stage renal disease یک بیماری تهدید کننده زندگی و به شدت رو به افزایش است. شیوع آن در ایران از ۱۳۷ نفر به ازای یک میلیون نفر در سال ۱۹۹۷ به ۳۵۷ نفر در سال ۲۰۰۶ رسیده است. همچنین، بروز آن از ۱۳/۸۲ نفر به ۱۳/۸ نفر به ازای یک میلیون نفر افزایش یافته است (۱). شایع‌ترین علل ESRD در جدول ۱ آمده است (۲). بر اساس بررسی‌های انجام شده در ایران، در حال حاضر ۱۵ هزار بیمار تحت

۱- استاد، گروه داخلی، دانشکده پزشکی، دانشگاه علوم پزشکی اصفهان، اصفهان، ایران

۲- دانشیار، گروه داخلی، دانشکده پزشکی، دانشگاه علوم پزشکی اصفهان، اصفهان، ایران

۳- دانشجوی پزشکی، کمیته‌ی تحقیقات دانشجویی، دانشکده پزشکی، دانشگاه علوم پزشکی اصفهان، اصفهان، ایران

۴- دستیار، گروه ارتوبیدی، دانشکده پزشکی، دانشگاه علوم پزشکی اصفهان، اصفهان، ایران

۵- استاد، گروه آمار و اپیدمیولوژی، دانشکده بهداشت، دانشگاه علوم پزشکی اصفهان، اصفهان، ایران

نویسنده‌ی مسؤول: آذین آذربایجانی

Email: azinazars@gmail.com

گوارشی است، بررسی وجود رابطه‌ی معنی‌دار بین ضایعات گوارشی و نوع دیالیز بسیار مهم و ضروری به نظر می‌رسد.

لازم به ذکر است که این مطالعه تاکنون در استان اصفهان انجام نشده است و مطالعات مشابه نیز در ایران نتایج متفاوتی به همراه داشته است.

امید است که با آگاهی از این موضوع در بیماران پیوند کلیه و ارتباط آن با دیگر عوامل از جمله طول مدت درمان و نوع بیماری زمینه‌ای قابل از پیوند، بتوان در جهت بهبود وضعیت سلامت کشور گامی برداشت.

روش‌ها

این مطالعه، از نوع مقطعی بود که در مرکز تحقیقات بیماری‌های کلیه‌ی دانشگاه علوم پزشکی اصفهان انجام شد. جمعیت مورد مطالعه، تمامی گیرنده‌گان پیوند کلیه در بین سال‌های ۱۳۸۵-۹۰ در شهر اصفهان بودند. روش جمع‌آوری اطلاعات به صورت سرشماری بود؛ به گونه‌ای که تمامی گیرنده‌گان پیوند کلیه که پرونده‌ی آن‌ها در بایگانی بخش پیوند بیمارستان‌های الزهرا (س) و نور و حضرت علی اصغر (ع) و معاونت درمان استان اصفهان موجود و آزمایش‌های موردنظر آن‌ها در دسترس بود، وارد مطالعه شدند و در صورت هر گونه نقص در پرونده، افراد از مطالعه خارج شدند.

علاوه بر سطح هموگلوبین، یافته‌های آندوسکوپی بیماران از قبیل ازوفازیت، Erosion معده، Erosion دوازده، آنتر، زخم پیتیک، زخم دوازده، اریتم دیسپلازی، آنزیو دیسپلازی، پولیپ التهابی معده، دثودنوم ندولار، بیماری زمینه‌ای منجر به نارسایی کلیه (مانند دیابت ملیتوس، پرشاری خون، گلومرونفربیت)، بیماری‌های اورولوژیک و ...، نوع و مدت درمان جایگزینی قبل از پیوند (نوع و مدت همودیالیز، دیالیز صفاقی و Preemptive transplant) و نیز نوبت پیوند در پیش‌نامه ذکر شد. این اطلاعات، از پرونده‌های بسته بخش پیوند و نیز پرونده‌های مرکز مدیریت و بیماری‌های خاص (وزارت بهداشت، درمان و آموزش پزشکی) استخراج و ثبت گردید.

سپس، با استفاده از نرم‌افزار SPSS Inc., Chicago, IL (SPSS) و ... اطلاعات مورد تجزیه و تحلیل قرار گرفت. جهت ارایه‌ی نتایج توصیفی، از جداول، نمودار و شاخص مرکزی و پراکنده و جهت نتایج استنباطی، از آزمون آماری χ^2 و استفاده شد و در نهایت، نتیجه‌ی تحلیل داده‌ها، با روش آماری Logistic regression گزارش شد.

یافته‌ها

در این مطالعه، ۳۳۴ مورد عمل پیوند کلیه، مورد مطالعه و بررسی قرار گرفت که میانگین سن گیرنده‌گان و دهنده‌گان عضو به ترتیب برابر با

جدول ۱. میزان شیوع End-stage renal disease (ESRD) بر اساس تشخیص اولیه

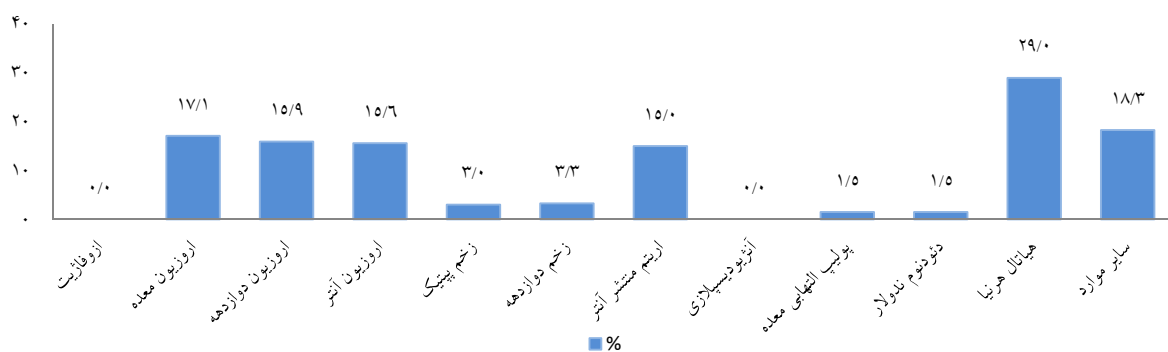
علت اولیه	شیوع (%)
دیابت	۴۴/۸
هیپرتانسیون، بیماری‌های عروق بزرگ	۲۷/۴
گلومرونفربیت	۷/۷
نفریت بیانی، پیلونفربیت	۲/۴
بیماری کیستیک مادرزادی ارثی	۲/۱
نؤپلاسم، تومور	۲/۴
گلومرونفربیت ثانویه و اسکولیت	۲/۲
متفرقه	۴/۹
ناشناخته	۷/۵

از دیگر درمان‌های ESRD پیوند کلیه است که به عنوان بهترین درمان عنوان می‌شود (۵). شیوع پیوند کلیه، ۲۰ نفر در هر ۱۰۰ هزار نفر است (۶). پیوندهای کلیه، ممکن است از افراد مرده یا اهدا کننده‌گان زنده باشند. در حال حاضر، میزان بقای یک ساله پیوند از جسد ۸۹ درصد و از فرد زنده ۹۵ درصد است و میانگین طول عمر یک پیوند از فرد زنده حدود ۲۰ سال و پیوند از جسد نزدیک به ۱۴ سال است.

قبل از پیوند در فرد گیرنده و دهنده، بررسی‌هایی انجام می‌شود که می‌توان به انجام آندوسکوپی جهت بررسی دستگاه گوارش فوکانی در فرد گیرنده اشاره کرد (۷).

وجود زخم پیتیک، کله‌سیستیت، بیماری‌های کولون و بدخیمی‌های دستگاه گوارش خطر مشکلات بعد از پیوند را افزایش می‌دهد (۸). در بررسی‌های نشان داده شد که شیوع زخم پیتیک در بیماران ESRD بیشتر از جمعیت عمومی است؛ در حالی که بررسی‌های بعدی نشان داد که شیوع زخم پیتیک در بیماران ESRD با جمعیت عمومی تقاضی ندارد (۹).

در مطالعه‌ی توسط فلاخ و همکاران در اصفهان مشاهده شد که شیوع ضایعات دستگاه گوارش فوکانی در بیماران دچار نارسایی پیشرفتی کلیه، بالاتر از جمعیت عمومی است (۱۰). همچنین، در مطالعه‌ی Abu Farsakh و همکاران، بیان شد که در افرادی که در بالاتر از ۶ ماه مورد دیالیز قرار می‌گیرند، شیوع ضایعات گوارشی بالاتر از جمعیت عادی می‌باشد (۱۱). مطالعه‌ی Chen و همکاران در تایوان نشان داد که شیوع خطر ابتلا به زخم پیتیک در بیماران پریتونشال دیالیز بالاتر از بیماران همودیالیز می‌باشد (۱۲). در مطالعات قبلی، این سوال که «آیا تقاضا معنی‌داری بین یافته‌های آندوسکوپی با نوع دیالیز یافت شده است یا خیر؟» مطرح نشده است و از آن جایی که یکی از عوامل ممانعت از پیوند، وجود این بیماری‌ها و بدخیمی‌های



شکل ۱. شیوع یافته‌های آندوسکوپی در بیماران کاندیدای پیوند

جدول ۲. مقایسه‌ی فراوانی یافته‌های آندوسکوپی در بیماران همودیالیز و دیالیز صفاقی

مقدار P	شیوع (%)		یافته آندوسکوپی
	همودیالیز	دیالیز صفاقی	
0/506	1/8	6/9	ازوفاژیت
0/269	2/7	11/1	اروزیون معدہ
0/810	1/2	12/3	اروزیون دوازده
0/643	0/9	12/3	اروزیون آنتر
0/290	0/0	3/0	زخم پیشنا
0/866	0/3	2/7	زخم دوازده
0/234	1/2	11/1	اریتم میتوژن آنتر
-	0/0	0/0	آرثرو دیسپلازی
0/605	0/0	1/5	پولیپ الگانی معدہ
0/768	0/0	1/2	دئونون مدلولار
0/605	3/9	20/7	هیاتال هرنیا
0/721	1/8	14/4	سایر موارد

بحث

هدف کلی از انجام این مطالعه، تعیین شیوع یافته‌های آندوسکوپیک در بیماران همودیالیز در مقایسه با دیالیز صفاقی در افراد کاندیدای پیوند کلیه بود. در این مطالعه، ۳۳۴ مورد پیوند کلیه که در سال‌های ۱۳۸۵-۹۰ در مرکز آموزشی - درمانی الزهرا (س) و بیمارستان سور و حضرت علی اصغر (ع) اصفهان انجام شده بود، مورد مطالعه و بررسی قرار گرفتند. شیوع یافته‌های آندوسکوپی در بیماران کاندیدای پیوند که تحت درمان جایگزین همودیالیز و دیالیز صفاقی قرار گرفته بودند و همچنین، میانگین هموگلوبین در این بیماران بررسی و مقایسه گردید. در مطالعه‌ی حاضر، شیوع یافته‌های آندوسکوپی میان دو گروه همودیالیز و دیالیز صفاقی، تفاوت معنی‌دار آماری نداشت. در مطالعه‌ی انجام شده توسط فلاح و همکاران که بر روی ۳۰۰ بیمار انجام شد، شیوع آنتر ۲۰/۷ درصد، دوازده ۳۱/۷ درصد، Erosion آنتر ۱۷ درصد، دوازده Erosion ۳۱ درصد و ازو فاژیت

۴۱/۱ ± ۱۴/۷ سال (دامنه‌ی ۷-۷۰ سال) و ۵/۶ ± ۲۸/۹ سال (دامنه‌ی ۱۹-۵۷ سال) بود. تعداد زنان و مردان در گیرندگان عضو، ۱۱۶ نفر (۳۴/۷ درصد) و ۲۱۸ نفر (۶۵/۳ درصد) و در اهدا کنندگان ۲۵ نفر (۷/۵ درصد) و ۳۰۹ نفر (۹۲/۵ درصد) بود.

شایع ترین علت نارسایی کلیه در بیماران گیرندگان، دیابت با فراوانی ۸۳ مورد (۲۴/۹ درصد) بود. همچنین، فشار خون بالا با فراوانی ۶۶ مورد (۱۹/۸ درصد) از دیگر علت شایع نارسایی کلیه در این بیماران بود. علت نارسایی کلیه در ۵۰ نفر (۱۵ درصد) به گلورمو لوقریت نسبت داده شد و Autosomal dominant polycystic kidney disease همچنین، از دیگر علت نارسایی کلیه در ۴۰ نفر (۱۲ درصد) از بیماران مورد مطالعه بود. در ۱۲ بیمار (۳/۶ درصد) نیز علت نارسایی کلیه، ابتلا به لوپوس بود. در ۶۳ نفر (۱۸/۹ درصد) دیگر، علت نارسایی کلیه ناشناخته بود. نوع درمان جایگزین قبل از انجام پیوند، در ۲۴۵ نفر (۷۳/۴ درصد) همودیالیز، در ۳۵ نفر (۱۰/۵ درصد) دیالیز صفاقی، در ۱۶ نفر (۴/۸ درصد) Preemptive transplant و در ۳۸ نفر (۱۱/۴ درصد) پیوند بود.

بر اساس شکل ۱، بیشترین یافته‌ی آندوسکوپی در بیماران کاندیدای پیوند، هیاتال هرنیا با شیوع ۲۹/۰ درصد (۷۱ بیمار) بود. بعد از آن، به

Erosion معده با شیوع ۱۷/۱ درصد (۵۷ بیمار)، دوازده با شیوع ۱۵/۶ درصد (۵۲ بیمار) بود. هیچ مورد آرثرو دیسپلازی دیده نشد (شکل ۱).

جدول ۲، مقایسه‌ی میزان شیوع یافته‌های آندوسکوپی در دو درمان مقاومت جایگزین قبل از پیوند شامل همودیالیز و دیالیز صفاقی را نشان می‌دهد. همان‌طور که در نمودار مشخص است، تفاوت معنی‌داری بین دو گروه همودیالیز و دیالیز صفاقی مشاهده نشد.

در مطالعه‌ی حاضر، میانگین هموگلوبین در بیماران همودیالیز ۱۰/۸ و در بیماران دیالیز صفاقی ۱۰/۵ گرم بر دسی‌لیتر به دست آمد که در آنالیز آماری تفاوت معنی‌داری بین دو گروه به دست نیامد (P = ۰/۹۰۳).

ضمن، در این مطالعه نیز ارتباط میانگین هموگلوبین و نوع دیالیز بررسی نشده است (۱۳).

در مطالعه‌ی حاضر، میانگین هموگلوبین در بیماران همودیالیز ۱۰/۸ و در بیماران دیالیز صفاقی ۱۰/۵ گرم بر دسی لیتر به دست آمد که در آنالیز آماری، تفاوت معنی‌داری بین دو گروه مشاهده نشد. در مطالعه‌ی Avram و همکاران بر روی ۸۵۰ بیمار، میانگین هموگلوبین در بیماران همودیالیز $9/61 \pm 1/90$ و در دیالیز صفاقی $9/44 \pm 1/71$ گرم بر دسی لیتر به دست آمده که در این مطالعه نیز همانند مطالعه‌ی حاضر، تفاوت معنی‌داری گزارش نشده است (۱۴).

نتیجه‌گیری نهایی این که به نظر می‌رسد بین نوع درمان جایگزینی پیوند و شیوع یافته‌های آندوسکوپی و همچنین، غلظت هموگلوبین با نوع درمان جایگزین قبل از پیوند، ارتباط معنی‌داری وجود ندارد، اما انجام مطالعات تکمیلی جهت روشن تر شدن این موضوع توصیه می‌گردد.

تشکر و قدردانی

این مقاله حاصل پایان‌نامه دوره‌ی دکتری حرفه‌ای پزشکی به شماره‌ی ۲۹۳۳۵۵ مصوب دانشگاه علوم پزشکی اصفهان می‌باشد. بدین وسیله از حمایت‌های معاونت پژوهشی و خانم دکتر توکلی فرد سپاسگزاری می‌شود.

۵/۷ درصد گزارش شد (۱۰) که در مقایسه با مطالعه‌ی حاضر، با دوازده درصد، Erosion آنتر ۱۵/۶ درصد و ازوفارژیت ۱۰/۲ درصد مقاومت است. می‌توان این مقاومت را ناشی از عدم بررسی شیوع هیاتال هرنیا در این مطالعه دانست؛ در حالی که در تحقیق Abu Farsakh و همکاران بر روی ۹۲ بیمار، شیوع یافته‌های آندوسکوپی مشابه با مطالعه‌ی حاضر به دست آمد؛ به طوری که Erosion معده با شیوع ۱۸/۳ درصد، Erosion دوازده درصد و Erosion آنتر ۱۵/۰ درصد گزارش شد (۱۱) و مقاومت این دو مطالعه با مطالعه‌ی حاضر، عدم بررسی ارتباط میانگین هموگلوبین و نوع دیالیز می‌باشد.

در مطالعه‌ی انصاری و همکاران بر روی ۲۰۶ بیمار در یک دوره‌ی یک ساله، شیوع اروزیون دوازده (۳۲/۰ درصد)، اروزیون آنتر (۲۲/۸ درصد)، اریتم متشر آنتر (۲۷/۸ درصد)، زخم دوازده (۷/۳ درصد)، ازوفارژیت (۵/۸ درصد)، دئونسوم ندلار (۲۰ درصد) و پولیت‌های Erosion آنتر و اریتم متشر آنتر، از مطالعه‌ی حاضر بالاتر بود، اما در سایر یافته‌های آندوسکوپی، شیوع یافته‌ها مشابه است؛ البته این نکته قابل تأمل است که در این مطالعه، شیوع هیاتال هرنیا گزارش نشده و به طور طبیعی، شیوع موارد دیگر بالاتر گزارش می‌شود. در

References

- Beladi-Mousavi SS, Alemzadeh-Ansari MJ, Alemzadeh-Ansari MH, Beladi-Mousavi M. Long-term survival of patients with end-stage renal disease on maintenance hemodialysis: a multicenter study in Iran. *Iran J Kidney Dis* 2012; 6(6): 452-6.
- Goldman L, Ausiello DA. Cecil medicine. 23rd ed. Philadelphia, PA: Saunders; 2007.
- Kang JY, Ho KY, Yeoh KG, Guan R, Wee A, Lee E, et al. Peptic ulcer and gastritis in uraemia, with particular reference to the effect of Helicobacter pylori infection. *J Gastroenterol Hepatol* 1999; 14(8): 771-8.
- Miles AM, Friedman EA. Center and home chronic hemodialysis: out-come and complications. In: Schrier RW, Gottschalk CW, editors. Disease of the kidney. 6th ed. New York, NY: Little, Brown and Company; 1997. p. 2807-38.
- Heldal K, Hartmann A, Leivestad T, Lien B, Foss AE, Midtvedt K. Renal transplantation is also an option for patients over 70. *Tidsskr Nor Laegeforen* 2011; 131(20): 2004-7.
- Huang J, Loh KS, Petersson F. Epstein-barr virus-associated smooth muscle tumor of the larynx: report of a rare case mimicking leiomyosarcoma. *Head Neck Pathol* 2010; 4(4): 300-4.
- Benzo J, Matos M, Milanes C, Arminio A, Stempel CA. Endoscopic findings in the upper digestive tract in patients with terminal chronic kidney failure. *GEN* 1994; 48(1): 34-8. [In Spanish].
- Milito G, Taccone-Gallucci M, Brancaleone C, Nardi F, Filingeri V, Cesca D, et al. Assessment of the upper gastrointestinal tract in hemodialysis patients awaiting renal transplantation. *Am J Gastroenterol* 1983; 78(6): 328-31.
- Milito G, Taccone-Gallucci M, Brancaleone C, Nardi F, Cesca D, Boffo V, et al. The gastrointestinal tract in uremic patients on long-term hemodialysis. *Kidney Int Suppl* 1985; 17: S157-S160.
- Fallah MJ, Minakari M, Adibi P. Evaluation of endoscopic findings in renal transplantation candidates. *J Isfahan Med Sch* 2011; 29(150): 1114-9. [In Persian].
- Abu Farsakh NA, Rowely E, Rababaa M, Butchoun R. Brief report: evaluation of the upper gastrointestinal tract in uraemic patients undergoing haemodialysis. *Nephrol Dial Transplant* 1996; 11(5): 847-50.
- Chen YT, Yang WC, Lin CC, Ng YY, Chen JY, Li SY. Comparison of peptic ulcer disease risk between peritoneal and hemodialysis patients. *Am J Nephrol* 2010; 32(3): 212-8.
- Ansari R, Ali Asgari A, Sotoudehmanesh R, Nooraei M, Goodarzi Z. The findings of endoscopy in patients with chronic renal failure undergoing hemodialysis. *Govaresh* 2002; 7: 84-8. [In Persian].
- Avram MM, Blaustein D, Fein PA, Goel N, Chattopadhyay J, Mittman N. Hemoglobin predicts long-term survival in dialysis patients: a 15-year single-center longitudinal study and a correlation trend between prealbumin and hemoglobin. *Kidney Int Suppl* 2003; (87): S6-11.

Comparison of Endoscopic Findings in Patients on Hemodialysis (HD) and Peritoneal Dialysis (PD) Waiting for Kidney Transplantation

Afsoon Emami-Naini¹, Mojgan Mortazavi², Azin Azarbeyjani³, Babak Hoseinzadeh⁴, Seyed Mohsen Hosseini⁵, Peyman Adibi¹

Original Article

Abstract

Background: End-stage renal disease is increasing and kidney transplantation is the treatment of the choice; before kidney transplantation, patients undergo on hemodialysis and peritoneal dialysis. Digestive problems such as peptic ulcer, cholecystitis, diseases of the colon, and digestive tract malignancies increase the risk of post-transplantation problems. This study aimed to evaluate endoscopic findings and their association with treatment before kidney transplantation.

Methods: In this cross-sectional study, 334 kidney-transplant candidates in the years 2006-2011 were entered via census sampling and their information was extracted from patient files in Alzahra and Noor hospitals, Isfahan, Iran, using a questionnaire.

Findings: The most common finding was hiatal hernia with prevalence of 29%, and then, gastric erosions (17.1%), duodenal erosions (15.9%), and antral erosions (15.6%), respectively; there was no angiodysplasia. Comparing the prevalence of endoscopic findings showed no significant different between the patients on hemodialysis and peritoneal dialysis. In our study, hemoglobin levels were 10.8 and 10.5 g/dl in patients on hemodialysis and peritoneal dialysis, respectively; which was not significantly different.

Conclusion: It seems that there is no relationship between the type of replacement therapy before transplantation and the prevalence of endoscopic findings as well as hemoglobin concentration; but additional studies to clarify this issue are advised.

Keywords: Endoscopic findings, Peritoneal dialysis, Hemodialysis, Kidney transplantation

Citation: Emami-Naini A, Mortazavi M, Azarbeyjani A, Hoseinzadeh B, Hosseini SM, Adibi P. Comparison of Endoscopic Findings in Patients on Hemodialysis (HD) and Peritoneal Dialysis (PD) Waiting for Kidney Transplantation. J Isfahan Med Sch 2016; 34(398): 1066-70.

1- Professor, Department of Internal Medicine, School of Medicine, Isfahan University of Medical Sciences, Isfahan, Iran
2- Associate Professor, Department of Internal Medicine, School of Medicine, Isfahan University of Medical Sciences, Isfahan, Iran
3- Student of Medicine, Student Research Committee, School of Medicine, Isfahan University of Medical Sciences, Isfahan, Iran
4- Resident, Department of Orthopedic Surgery, School of Medicine, Isfahan University of Medical Sciences, Isfahan, Iran
5- Professor, Department of Statistics and Epidemiology, School of Health, Isfahan University of Medical Sciences, Isfahan, Iran

Corresponding Author: Azin Azarbeyjani, Email: azinazars@gmail.com

بررسی عود پنوموتوراکس در مبتلایان به پنوموتوراکس خود به خودی تحت درمان با Slurry Tetracycline Pleurodesis

محسن کلاهدوزان^۱, سید مظفر هاشمی^۲, سیمین شکرالهی^{۳*}

مقاله پژوهشی

چکیده

مقدمه: پنوموتوراکس خود به خودی بدون وجود عامل قابل پیش‌بینی به وجود می‌آید. این حالت، منجر به تجمع هوا در فضای پلور می‌شود که می‌تواند تنگی نفس و در موارد شدید، مرگ و میر را به همراه داشته باشد. نکته‌ی مهم در درمان این بیماری، جلوگیری از عود پنوموتوراکس است.

روش‌ها: این مطالعه از نوع سرشماری، توصیفی-تحلیلی و گذشتنه‌گر بود که بر روی بیماران مبتلا به Spontaneous pneumothorax Pleurodesis با استفاده از Chest tube و محلول کپسول تتراسیکلین در اصفهان بین سال‌های ۱۳۹۲-۹۵ انجام شد. پس از تکمیل درمان، بیمار از لحاظ علایم تنگی نفس بررسی شد و در صورت عکس قفسه‌ی سینه طبیعی و باز شدن ریه‌ها، Chest tube بیمار خارج و بیمار مرخص گردید. اطلاعات دموگرافیک و عوارض نیز بررسی شد. داده‌ها با استفاده از آمار توصیفی و تحلیلی (آزمون χ^2) تحلیل گردید.

یافته‌ها: از میان ۸۰ بیمار، ۶ بیمار، ۵ بیمار (۵/درصد)، دچار عود پنوموتوراکس در طی یک سال پس از درمان شدند. ۴۸ بیمار سابقه‌ی مصرف سیگار داشتند که ارتباطی با عود پنوموتوراکس نداشت ($P < 0.05$). در قفسه‌ی سینه پس از خروج لوله در ۳۸ بیمار (۳۵/۱) گزارش گردید؛ همچنین، ۸ بیمار (۷/۴) دمای بیشتر از ۳۸ درجه‌ی سانتی‌گراد (تب) داشتند.

نتیجه‌گیری: درمان پنوموتوراکس خود به خودی با استفاده از کپسول تتراسیکلین با عارضه‌ی کمتر و میزان عود کمتر نسبت به روش‌های مشابه همراه بوده است.

وازگان کلیدی: پنوموتوراکس خود به خودی، کپسول تتراسیکلین، پنوموتوراکس، عود

ارجاع: کلاهدوزان محسن، هاشمی سید مظفر، شکرالهی سیمین. بررسی عود پنوموتوراکس خود به خودی تحت درمان با پنوموتوراکس خود به خودی. مجله دانشکده پزشکی اصفهان ۱۳۹۵؛ ۳۴(۳۹۸): ۱۰۷۶-۱۰۷۱. Slurry Tetracycline Pleurodesis

مقدمه

کردن مجدد ریه‌ها و تخلیه‌ی هوای بین پلور است. علاوه بر آن، درمان انتخابی باید با خطر عود کم همراه باشد (۱). باز کردن متعدد ریه به دنبال شکست درمان گذشته، می‌تواند همراه با بالا رفتن خطر ادم ریوی باشد که یک خطر نادر اما مرگبار در رابطه با این بیماران به خصوص در نوع ثانویه است (۲).

روش‌های درمانی متعددی نظری عمل جراحی قفسه‌ی سینه به کمک ویدئو (VATS) یا Video-assisted thoracoscopic surgery و Talc slurry pleurodesis موجود در پنوموتوراکس‌های مجدد پس از VATS و نیاز به تجهیزات و مهارت لازم در این تکنیک، از روش Talc slurry pleurodesis به عنوان انتخاب اصلی استفاده می‌شود. در روش VATS میزان عود بین

پنوموتوراکس خود به خودی، نوعی بیماری است که در آن، ریه‌ها به علت تجمع هوا در فضای پلور، روی هم می‌خوابند و بیمار با اختلال تنفسی، بدون ترومای عامل پاتولوژیک مراجعه می‌کنند. این بیماری، به صورت تاریخی در بیماران بروز علایم، می‌تواند خطر مرگ را نیز در پی داشته باشد. این بیماری، به دو شکل اولیه و ثانویه است که نوع اولیه‌ی آن در گروه سنی ۲۰-۴۰ سال شایع‌تر است و بیمار هیچ گونه سابقه‌ی بیماری ریوی ندارد. این بیماری، در مردان مصرف کننده‌ی سیگار شایع‌تر است. یکی از نکات قابل توجه در مورد پنوموتوراکس خود به خودی، بالا بودن خطر بازگشت پنوموتوراکس جدید پس از درمان است. هدف از درمان، باز

- دانشیار، گروه جراحی توراکس، دانشکده‌ی پزشکی، دانشگاه علوم پزشکی اصفهان، اصفهان، ایران
 - دانشجوی پزشکی، کمیته‌ی تحقیقات دانشجویی، دانشکده‌ی پزشکی، دانشگاه علوم پزشکی اصفهان، اصفهان، ایران
- *نویسنده‌ی مسؤول: سیمین شکرالهی

Email: simin_sh1989@yahoo.com

این مطالعه توسط کمیته‌ی تحقیق و اخلاق دانشگاه علوم پزشکی اصفهان مورد تأیید قرار گرفت.

بیماران شرکت کننده، با توجه به معیارهای ورود و خروج، دارای سابقه‌ی بیماری Spontaneous pneumothorax در گذشته بودند که برای درمان آن‌ها از روش Slurry pleurodesis با استفاده از Chest tube و محلول کپسول تتراسیکلین استفاده شد. در این روش، در ابتدا برای بیمار Chest tube تعییه شد. سپس، تعداد ۲ عدد کپسول تتراسیکلین ۱۰۰ میلی‌گرم در شرایط استریل با ۱۰۰ سی‌سی سرمه نرمال سالین مخلوط گردید و از راه Chest tube این محلول به فضای پلور تزریق شد (شکل ۲). سپس، لوله Clamp شد و پس از ۶ ساعت مایعات از همان فضا با استفاده از Chest bottle تخلیه شد. پس از ۲۴ ساعت، در صورت نبود علایم تنفسی نفس حاد و داشتن Chest tube یک عکس قفسه‌ی سینه‌ی طبیعی و باز شدن ریه‌ها، بیمار خارج و بیمار مرخص گردید (شکل ۳).



شکل ۲. عکس قفسه‌ی سینه‌ی بیمار که Chest tube برای وی تعییه شده است.

با استفاده از پرونده‌ها اطلاعات سن، جنس و عوارضی نظیر درد پس از تزریق محلول تتراسیکلین و پس از تخلیه Chest tube، دمای بالای ۳۸ درجه‌ی سانتی‌گراد (تب)، تنگی نفس و تاکی‌پنه (بیشتر از ۲۰ بار در دقیقه) به دست آمد. سپس، در سابقه‌ی پیگیری بیماران به صورت ۶ ماهه و مراجعات بعدی بیمار به درمانگاه جراحی، وجود یافته‌هایی درباره‌ی رخ دادن پنوموتوراکس جدید بررسی و داده‌های به دست آمده ثبت گردید. همچنین، با بیمارانی که در زمینه‌ی رخداد پنوموتوراکس جدید اطلاعاتی در پرونده‌ی آنان یافت نشد، تماس و پی‌گیری تلفنی انجام شد.

داده‌های به دست آمده با استفاده از نرم‌افزار SPSS نسخه‌ی ۲۲ (version 22, SPSS Inc., Chicago, IL) ثبت گردید. پس از آن، داده‌های توصیفی دسته‌بندی شد و برای واکاوی داده‌ها از آزمون χ^2 استفاده گردید. در این مطالعه، $P < 0.05$ به عنوان سطح معنی‌داری در نظر گرفته شد.

۱۴ درصد است، اما بیماران دارای عارضه مانند بولا بر روی ریه بوده و همچنین به طور متوسط ۱۰ روز دچار نشت هو (Air leak) شده‌اند (۳)، اما همچنان با وجود مطالعات مختلف، داده‌های موقتی در مورد کار با پودر Talc و میزان موفقیت با این روش در جلوگیری از بازگشت پنوموتوراکس در دسترس نیست.

علاوه بر آن، تحقیقاتی که بیشتر بر روی پلورزیدس با پودر Talc (Pleural effusion) انجام شده است، بیشتر بر روی پلورال افیوژن (Pleural effusion) بوده است. در یک مطالعه بر روی ۱۶ بیمار دارای پلورال افیوژن، میزان عود ۶ درصد بوده است، اما همچنان مطالعات اخیر، داده‌ی آماری قابل اعتمادی جهت بررسی میزان عود پنوموتوراکس با پودر تالک را گزارش نکرده‌اند (۴-۵).

ماده‌ی دیگری که از آن برای Pleurodesis استفاده می‌شود، داروی تتراسیکلین (Tetracycline) است که به شکل آمپول به فضای تزریق می‌شود. در مراکز درمانی در طی چندین سال گذشته، با توجه به کمبود آمپول و عوارض روش‌های دیگر، از کپسول تتراسیکلین به روش استریل استفاده شده است. در مطالعه‌ی حاضر، از کپسول حل شده‌ی تتراسیکلین برای این منظور استفاده شد که یافته‌ای در زمینه‌ی استفاده از این روش بر روی انسان‌ها در مناطق دیگر جهان موجود نبود. از این روش، مطالعه‌ی حاضر با هدف بررسی میزان بازگشت پنوموتوراکس پس از درمان با تکنیک Slurry pleurodesis با Tetracycline شد.

روش‌ها

این مطالعه از نوع توصیفی- تحلیلی گذشته‌نگر بود که از فروردین ۱۳۹۲ تا فروردین ۱۳۹۴ در مرکز آموزشی- درمانی الزهرا (س) اصفهان به اجرا در آمد. جامعه‌ی آماری مورد مطالعه، بیماران درمان آن‌ها از روش Slurry pleurodesis با Tetracycline استفاده شده بود. همه‌ی بیماران وارد مطالعه شدند و در صورتی که بیماران سابقه‌ی بیماری زمینه‌ای ریوی داشتند یا در گذشته مبتلا به پنوموتوراکس بودند، از مطالعه حذف شدند.



شکل ۱. بیمار مبتلا به پنوموتوراکس خود به خودی

(۱۳/۸) درصد) مبتلا به تاکی پنه پس از تزریق محلول بودند که پس از خروج Chest tube تاکی پنه بیمار کترل گردید.

بحث

پنوموتوراکس خود به خودی، حالتی بالینی است که هوا بدون وجود ترومما وارد فضای بالقوه‌ی بین پلور احشایی و محیطی می‌شود و ریهی سمت گرفتار، دچار کولپاس می‌گردد. پنوموتوراکس خود به خودی، به دو دسته‌ی اولیه و ثانویه تقسیم می‌شود. پنوموتوراکس اولیه به مواردی گفته می‌شود که بیماری زمینه‌ای ریوی یافت نشده و بیشتر افراد در سنین جوانی و بالغ را گرفتار می‌کند. پنوموتوراکس ثانویه، یک پاتولوژی ریوی است که در گروه سنی سالمندان بیشتر یافت می‌شود. در گروه ثانویه، بیماری انسدادی مزمن ریوی (COPD) یا Chronic obstructive pulmonary disease شایع‌ترین عامل شناخته شده است که به علت وجود بولاها پاره شده در مکان‌های مختلف و قدرت کم بهبودی (Healing) و میزان بالای بازگشت و مرگ و میر، حتی با وجود درمان جراحی، خطرناک‌تر از گروه اولیه است (۶).

پنوموتوراکس در مردان شایع‌تر است. سیگار کشیدن نیز یکی از عوامل خطر ایجاد این بیماری است و خطر بازگشت مجدد آن را نیز تشدید می‌کند (۷). اگر چه در این مطالعه، رابطه‌ی معنی‌داری بین مصرف سیگار و بازگشت پنوموتوراکس یافت نشد، اما تمامی بیمارانی که دچار بازگشت پنوموتوراکس شده بودند، مصرف کننده‌ی سیگار بودند و پس از درمان نیز به مصرف سیگار ادامه داده بودند. همچنین، در مطالعه‌ی کنونی میزان بروز پنوموتوراکس خود به خودی در مردان بیشتر بود و میانگین سنی ۳۳/۱ سال داشتند. قابل توجه است که یکی از مهم‌ترین مسایلی که در این بیماری مطرح است، میزان بالای برگشت بیماری با وجود داشتن راههای درمانی مختلف است که این میزان بین ۲۰-۵۰ درصد برای نوع اولیه و بین ۱۰-۲۰ درصد به طور کلی برای هر دو گروه بیماری گزارش شده است (۱).

درمان اصلی برای این بیماری، باز کردن مجدد ریه (Reexpansion) و تخلیه‌ی هوای فضای پلور است. درمان بیماران پنوموتوراکس خود به خودی اولیه، باید علاوه بر انجام درمان مرحله‌ی حاد بیماری، بتواند از بازگشت مجدد بیماری در آینده نیز جلوگیری کند. روش‌های درمانی مختلفی برای این بیماری وجود دارد. اولین راه، درمان با تخلیه‌ی هوای توسط Chest tube است که تا ۸۰ موقیت همراه است. بولاها و بلب‌ها عواملی هستند که به دنبال اختلال در پاراشیم آلئی‌ها ایجاد می‌شوند و به دنبال پارگی آن‌ها، پلور آسیب می‌بیند و باعث نشت هوای طولانی مدت و بازگشت پنوموتوراکس در



شکل ۳. عکس قفسه‌ی سینه در هنگام ترجیح بیمار

یافته‌ها

در طی این مطالعه، تعداد ۱۵۸ بیمار مبتلا به پنوموتوراکس خود به خودی تحت درمان با تتراسیکلین مورد بررسی قرار گرفتند. اطلاعات ۱۸ بیمار در زمینه‌ی عوارض مطالعه ناقص بود و این بیماران از مطالعه حذف شدند. همچنین، امکان پی‌گیری ۲۲ نفر به دلیل عدم دسترسی به آن‌ها میسر نبود. ۱۰ بیمار نیز به علت عدم باز شدن کامل ریه‌ها تحت برونکوسکوپی قرار گرفتند که با توجه به اقدامات درمانی دیگر نظیر توراکوتومی، از مطالعه حذف شدند. در نهایت، اطلاعات ۱۰۸ بیمار جمع‌آوری و بررسی گردید.

در این مطالعه، تعداد بیماران مرد ۷۱ نفر (۶۵/۷ درصد) با میانگین سنی ۳۵/۸ سال و تعداد بیماران زن، ۳۷ نفر (۳۴/۳ درصد) با میانگین سنی ۳۲/۲ سال بود. همچنین، ۴۸ بیمار سابقه‌ی مصرف سیگار بیشتر از ۵ سال گذشته داشتند (جدول ۱). از میان کل بیماران، ۶ بیمار (۵/۵ درصد) دچار عود پنوموتوراکس در طی ۶ ماه پس از درمان شدند. از بین بیماران مبتلا به عود، ۵ نفر (۸۳/۳ درصد) مرد و ۱ نفر (۱۶/۶ درصد) زن بودند. ۴ نفر از بیماران جهت برطرف شدن پنوموتوراکس مجدد، نیاز به توراکوتومی پیدا کردند و ۲ نفر با تعییی VATS Chest tube درمان شدند.

با توجه به بررسی آماری، رابطه‌ای بین عود بیماری و جنسیت بیماران یافت نشد ($P = 0/342$). همچنین، رابطه‌ای بین مصرف سیگار، میانگین سنی بیماران و عود پنوموتوراکس مشاهده نشد ($P = 0/021$). در این مطالعه، متوسط مدت زمان برخورد پنوموتوراکس، ۱۶۸ روز بود. کمترین زمان و بیشترین زمان در عود پنوموتوراکس، ۵-۱۷۳ روز بود.

در طی این بررسی، درد قفسه‌ی سینه پس از خروج لوله در ۳۸ بیمار (۳۵/۱ درصد) گزارش شد که در این میان، ۵ بیمار نیازمند درمان با مسکن در طی دو هفتگه‌ی پس از آن بودند. همچنین، در ۸ بیمار (۷/۴ درصد) تب (دمای بدن بیشتر از ۳۸ درجه‌ی سانتی‌گراد) مشاهده شد که در طی ۲۴ ساعت پس از شروع آن، به صورت خود به خودی و طی اقدامات Conservative برطرف گردید. ۱۵ بیمار

از ۳۰ روز بوده و میزان بروز تب و تنگی نفس و درد قفسه‌ی سینه کمتر از مطالعات گذشته بوده است (۴). همچنین، مطالعات نشان داده است که اثربخشی پودر Talc در جلوگیری از ایجاد پنوموتوراکس Pleurdesis مجدد در فاصله‌ی زمانی ۱ ماه، مشابه روش‌های دیگر VATS است. این روش، یکی از می‌باشد و در فاصله‌ی زمانی بیشتر از ۱ ماه، نتایج حاصل از مصرف پودر Talc رضایت بخش‌تر بوده است. با این وجود، هنوز در مورد استفاده از pleurodesis تاک در دسترس نیست (۵). همچنین، روش درمانی واحدی در مورد نحوه ای استفاده از پودر تالک در دسترس نیست و گسترده شدن محلول تالک به طور یکسان به تمام فضای پلور توسط Chest tube تأیید نشده است.

در این مطالعه، برای ایجاد Pleurodesis از کپسول Tetracycline استفاده شده است که تا به حال، مطالعه‌ی مشابهی در دنیا بر روی انسان‌ها برای این روش انجام نشده است. آخرین مطالعات در سال‌های ۱۹۹۷ بوده و مطالعات اخیر نیز در تعداد محدود و همگی به شکل Animal trial انجام شده است. در این مطالعه، تعداد ۱۰۸ بیمار مبتلا به پنوموتوراکس خود به خودی تحت درمان با کپسول تتراسیکلین قرار گرفتند که ۶ بیمار دچار عود پنوموتوراکس شدند. در این روش درمانی، شایع ترین عارضه‌ی یافته شده، درد قفسه‌ی سینه بود که پس از دو هفته از خروج Chest tube در دسترس نداشتند.

در پایان با توجه به نتایج آماری بیان شده در این مطالعه، درمان پنوموتوراکس خود به خودی با استفاده از کپسول تتراسیکلین با عارضه‌ی کمتر و میزان عود کمتر نسبت به روش‌های مشابه همراه بوده است، اما همچنان نیاز به مطالعات مداخله‌ای و مقایسه‌ای جهت بررسی بیشتر فواید و مضرات این روش درمانی نیاز است.

تشکر و قدردانی

مقاله‌ی حاضر حاصل پایان‌نامه‌ی دکتری حرفه‌ای پزشکی عمومی است که با شماره‌ی ۳۹۳۷۷۰ در حوزه‌ی معاونت پژوهشی دانشکده‌ی پزشکی دانشگاه علوم پزشکی اصفهان تصویب و با حمایت‌های این معاونت به انجام رسیده است. از این‌رو، نویسنده‌گان این مقاله از زحمات این معاونت تقدیر و تشکر به عمل می‌آورند.

بیماران می‌شود (۸). پیشنهاد می‌شود بیمارانی که با نشت هوای طولانی مدت و شدید در نوع اولیه یا پنوموتوراکس‌های متعدد همراه بودند (۹)، تحت درمان جراحی قرار گیرند.

یکی از درمان‌های، تکنیک VATS است. این روش، یکی از درمان‌های جدید با استفاده از تکنیک اندوسکوپی و ایجاد جراحت بر روی پلور (Pleural abrasion) است که به دنبال جراحت لخته‌های خون ایجاد شده بر روی ریه، باعث کنترل نشت هوای می‌شود (۱۰). یکی از مشکلات استفاده از این تکنیک، آن است که پنوموتوراکس‌های رخ داده بعد از VATS، پیچیده‌تر از تکنیک‌های دیگر هستند. عدم اطمینان از شناسایی تمامی مناطق نشت هوای در ریه نیز یکی از مشکلات این روش است. علاوه بر آن، چسبندگی‌های بعد از جراحت پلور شدید هستند و جراحی‌ها و توراکوتومی‌های بعدی به منظور درمان را با مشکل مواجه می‌کند. همچنین، چسبندگی‌های گذشته همراه با خون‌ریزی بیشتر همراه است و برای انجام VATS مجدد، وجود دوربین‌هایی با کیفیت تصویر بهتر و فیلد بزرگ‌تر لازم است. همچنین، با دوره‌ی نقاوت و بستره طولانی‌تری همراه هستند. با توجه به پیچیدگی جراحی مجدد، مدت قرار دادن Chest tube باید طولانی‌تر شود و به دنبال آن، خطر عفونت تنفسی، تشکیل امپیم و DVT (Deep vein thrombosis) افزایش می‌باید (۱۱-۱۲). بنابراین، بسیاری از متخصصان معتقدند که این روش باید به عنوان آخرین راه درمانی باشد تا برای انجام روش‌های دیگر درمانی مانع ایجاد نشود (۳).

یکی از روش‌های دیگر، قرار دادن Chest tube و تخلیه‌ی هوای پلورودز به دنبال تزریق ماده‌ی اسکلرولزانت است. ماده‌ی انتخابی که در این روش به کار برده می‌شود، Talc است که مطالعات نشان داده‌اند با خطر کمتر اختلال ناگهانی تنفسی، پنومونی و مرگ مرتبط با درمان با ماده‌ی مصرفی همراه بوده است (۶)، اما همچنان، عده‌ای معتقدند که مصرف پودر Talc می‌تواند باعث ایجاد اختلال ناگهانی تنفسی شود، اما تحقیقات نشان داده‌اند که ذرات بزرگ منجر به ایجاد التهاب نمی‌شود (۴).

در یک مطالعه با استفاده از روش مشابه مطالعه‌ی حاضر، گزارش شده است که میزان موفقیت استفاده از پودر Talc ۹۰/۶ درصد پس

References

- Sayar A, Kok A, Citak N, Metin M, Buyukkale S, Gurses A. Size of pneumothorax can be a new indication for surgical treatment in primary spontaneous pneumothorax: a prospective study. Ann Thorac Cardiovasc Surg 2014; 20(3): 192-7.
- Yoon JS, Suh JH, Choi SY, Kwon JB, Lee BY, Lee SH, et al. Risk factors for the development of

reexpansion pulmonary edema in patients with spontaneous pneumothorax. J Cardiothorac Surg 2013; 8: 164.

- Chou SH, Li HP, Lee YL, Lee JY, Chiang HH, Tsai DL, et al. Video-assisted thoracoscopic surgery for postoperative recurrent primary spontaneous pneumothorax. J Thorac Dis 2014; 6(1): 52-5.

4. Inoue T, Ishida A, Nakamura M, Nishine H, Mineshita M, Miyazawa T. Talc pleurodesis for the management of malignant pleural effusions in Japan. *Intern Med* 2013; 52(11): 1173-6.
5. Xia H, Wang XJ, Zhou Q, Shi HZ, Tong ZH. Efficacy and safety of talc pleurodesis for malignant pleural effusion: a meta-analysis. *PLoS One* 2014; 9(1): e87060.
6. Isaka M, Asai K, Urabe N. Surgery for secondary spontaneous pneumothorax: risk factors for recurrence and morbidity. *Interact Cardiovasc Thorac Surg* 2013; 17(2): 247-52.
7. Uramoto H, Shimokawa H, Tanaka F. What factors predict recurrence of a spontaneous pneumothorax? *J Cardiothorac Surg* 2012; 7: 112.
8. Uramoto H, Tanaka F. What is an appropriate material to use with a covering technique to prevent the recurrence of spontaneous pneumothorax? *J Cardiothorac Surg* 2014; 9: 74.
9. Tsukioka T, Inoue K, Oka H, Mizuguchi S, Morita R, Nishiyama N. Pleurodesis with a 50% glucose solution in patients with spontaneous pneumothorax in whom an operation is contraindicated. *Ann Thorac Cardiovasc Surg* 2013; 19(5): 358-63.
10. Igai H, Kamiyoshihara M, Ibe T, Kawatani N, Shimizu K. Single-incision thoracoscopic surgery for spontaneous pneumothorax using multi-degrees of freedom forceps. *Ann Thorac Cardiovasc Surg* 2014; 20(6): 974-9.
11. Haga T, Kurihara M, Kataoka H. Spontaneous pneumothorax with persistent air leakage and invasive procedures. *Intern Med* 2013; 52(19): 2189-92.
12. Dearden AS, Sammon PM, Matthew EF. In patients undergoing video-assisted thoracic surgery for pleurodesis in primary spontaneous pneumothorax, how long should chest drains remain in place prior to safe removal and subsequent discharge from hospital? *Interact Cardiovasc Thorac Surg* 2013; 16(5): 686-91

Evaluation of Pneumothorax Recurrence in Patients with Spontaneous Pneumothorax Treated with Slurry Pleurodesis with Tetracycline

Mohsen Kolahdouzan¹, Sayed Mozaffar Hashemi¹, Simin Shokrollahi²

Original Article

Abstract

Background: Spontaneous pneumothorax occurs without any predictable factor. This leads to accumulation of air in pleural cavity, which can cause dyspnea and in severe cases even death.

Methods: This census, descriptive-retrospective study was conducted on patients with spontaneous pneumothorax treated with pleurodesis chest tube in which tetracycline capsules were saluted, in Isfahan city, Iran, during 2013-16. After completion of treatment, patients were assessed in terms of dyspnea. In case of normal chest X-ray and pulmonary expansion, chest tube was removed. Demographic information and complications were evaluated as well. Data were analyzed using descriptive analytics and chi-square test. P-value < 0.05 was considered as significant.

Findings: Among 108 patients, 6(5.5%) reported recurrence pneumothorax in a year. 48 patients mentioned smoking that was not in association with pneumothorax recurrence ($P > 0.05$). 38 patients (35.1%) reported chest pain after chest tube removal and 8 patients (7.4%) reported fever of more than 38°C.

Conclusion: Due to comparing the results of current study with previous similar studies, treatment of spontaneous pneumothorax with tetracycline capsule causes fewer complications and fewer recurrences.

Keywords: Spontaneous pneumothorax, Tetracycline capsule, Pneumothorax, Recurrence

Citation: Kolahdouzan M, Hashemi SM, Shokrollahi S. Evaluation of Pneumothorax Recurrence in Patients with Spontaneous Pneumothorax Treated with Slurry Pleurodesis with Tetracycline. J Isfahan Med Sch 2016; 34(398): 1071-6.

1- Associate Professor, Department of Thoracic Surgery, School of Medicine, Isfahan University of Medical Sciences, Isfahan, Iran
2- Student of Medicine, Student Research Committee, School of Medicine, Isfahan University of Medical Sciences, Isfahan, Iran
Corresponding Author: Simin Shokrollahi, Email: simin_sh1989@yahoo.com

Editorial Board (In alphabetical order)

1. **Khosrow Adeli** PhD, Professor of Clinical Biochemistry, University of Toronto, Toronto, Canada
2. **Ali Akhavan** MD, Assistant Professor of Radiotherapy, Isfahan University of Medical Sciences, Isfahan, Iran
3. **Mohammadreza Akhlaghi** MD, Associate Professor of Otolaryngology, Isfahan University of Medical Sciences, Isfahan, Iran
4. **Reza Amin** MD, Professor of Pediatrics, Shiraz University of Medical Sciences, Shiraz, Iran
5. **Babak Amra** MD, Professor of Pulmonology, Isfahan University of Medical Sciences, Isfahan, Iran
6. **Saeid Andalib Jortani** MD, Professor of Pathology, Leuis Weil University, USA
7. **Reza Bagherian-Sararoudi** PhD, Associate Professor of Psychiatry, Isfahan University of Medical Sciences, Isfahan, Iran
8. **Majid Barekatain** MD, Professor of Psychiatry, Isfahan University of Medical Sciences, Isfahan, Iran
9. **Ken Bassett** MD, Professor of Dermatology, Dermatology and Leshmaniosis Research Center, Canada
10. **Ahmad Chitsaz** MD, Professor of Neurology, Isfahan University of Medical Sciences, Isfahan, Iran
11. **Afsoon Emami** MD, Associate Professor of Nephrology, Isfahan University of Medical Sciences, Isfahan, Iran
12. **Shahin Emami** Department of Biochemistry, Saint Antoine Hospital, Paris, France
13. **Ebrahim Esfandiary** MD, PhD, Professor of Medical Anatomy, Isfahan University of Medical Sciences, Isfahan, Iran
14. **Faramarz Esmaeilbeigi** MD, Professor of Endocrinology, School of Medicine, California, USA
15. **Ahmad Esmaeilzadeh** PhD, Professor of Nutrition, Tehran University of Medical Sciences, Tehran, Iran
16. **Ziba Farajzadegan** MD, Professor of Community Medicine, Isfahan University of Medical Sciences, Isfahan, Iran
17. **Aziz Gahari** MD, Professor of Dermatology, Dermatology and Leshmaniosis Research Center, Canada
18. **Jafar Golshahi** MD, Associate Professor of Cardiology, Isfahan University of Medical Sciences, Isfahan, Iran
19. **Mostafa Hashemi** MD, Associate Professor of Otolaryngology, Tehran University of Medical Sciences, Tehran, Iran
20. **Saied Morteza Heidari** MD, Professor of Anesthesiology, Isfahan University of Medical Sciences, Isfahan, Iran
21. **Ali Hekmatnia** MD, Professor of Radiology, Isfahan University of Medical Sciences, Isfahan, Iran
22. **Fariba Iraji** MD, Professor of Dermatology, Isfahan University of Medical Sciences, Isfahan, Iran
23. **Roya Kelishadi** MD, Professor of Pediatrics, Isfahan University of Medical Sciences, Isfahan, Iran
24. **Behnaz Khani** MD, Associate Professor of Obstetrics & Gynecology, Isfahan University of Medical Sciences, Isfahan, Iran
25. **Majid Kheirollahi** PhD, Associate Professor of Genetics and Molecular Biology, Isfahan University of Medical Sciences, Isfahan, Iran
26. **Parvin Mahzooni** MD, Professor of Pathology, Isfahan University of Medical Sciences, Isfahan, Iran
27. **Marjan Mansourian** PhD, Assistant Professor of Epidemiology and Biostatistics, Isfahan University of Medical Sciences, Isfahan, Iran
28. **Mohammad Mardani** MD, Professor of Medical Anatomy, Isfahan University of Medical Sciences, Isfahan, Iran
29. **Mehdi Modares** MD, Professor of Ophthalmology, Tehran University of Medical Sciences, Tehran, Iran
30. **Etiye Moghisi** MD, Professor of Endocrinology, Endocrine and Metabolism Research Center, USA
31. **Mohammadreza Nourbakhsh** PhD, Professor of Physiotherapy, Georgia, USA
32. **Farzin Pourfarzad** PhD, Department of Cell Biology and Genetics, Erasmus University MC Rotterdam, The Netherlands
33. **Masoud Pourmoghaddas** MD, Professor of Cardiology, Isfahan University of Medical Sciences, Isfahan, Iran
34. **Maryam Radahmadi** PhD, Assistant Professor of Physiology, Isfahan University of Medical Sciences, Isfahan, Iran
35. **Hassan Razmjoo** MD, Professor of Ophthalmology, Isfahan University of Medical Sciences, Isfahan, Iran
36. **Reza Rouzbahani** MD, Assistant Professor of Community Medicine, Isfahan University of Medical Sciences, Isfahan, Iran
37. **Masih Saboori** MD, Professor of Neurosurgery, Isfahan University of Medical Sciences, Isfahan, Iran
38. **Mohammad Reza Safavi** MD, Associate Professor of Anesthesiology, Isfahan University of Medical Sciences, Isfahan, Iran
39. **Rasoul Salehi** PhD, Assistant Professor of Genetics, Isfahan University of Medical Sciences, Isfahan, Iran
40. **Mansour Sholevar** MD, Professor of Cardiology, Isfahan University of Medical Sciences, Isfahan, Iran
41. **Mohammadreza Sharifi** MD, PhD, Professor of Physiology, Isfahan University of Medical Sciences, Isfahan, Iran
42. **Masoud Soheilian.** MD, Professor of Ophthalmology, Shahid Beheshti University of Medical Sciences, Tehran, Iran



JOURNAL OF ISFAHAN MEDICAL SCHOOL

Vol. 34, No. 398, 2nd Week November 2016

Isfahan University of Medical Sciences

Chairman: **Mansour Sholehvar MD** Emerita Editor-in-Chief: **Roya Kelishadi MD**

Editor-in-Chief: **Majid Barekatain MD**

Associate Editor: **Maryam Radahmadi PhD**

Published by:

Isfahan University of Medical Sciences

Email: publications@mui.ac.ir

Office:

P.O. Box 81744-176, Isfahan, I.R. IRAN

Tel/fax: +98 31 37922291

Email: jims@med.mui.ac.ir

Website: <http://www.journals.mui.ac.ir/jims>

Executive Manager: Ali Moradi, Office Secretary: Golnaz Rajabi

**Copy Edit, Layout Edit, Proof Reading,
Design, Print and Online Support:**

FaRa Publishing House (Farzanegan Radandish)

Email: farapublications@gmail.com

<http://farapub.com>

Tel/fax: +98 31 32224382

Circulation: 500

This journal is indexed in the following international indexers

- Scopus
- Chemical Abstracts
- Islamic World Science Citation Center (ISC)
- Academic Search Complete EBSCO Publishing databases
- WHO/EMRO/Index Medicus
- Google Scholar
- Index Copernicus
- Directory of Open Access Journal (DOAJ)
- Index Academicus
- Scientific Information Database (www.sid.ir)
- www.iranmedex.com

The online version is available in; IUMS website (www.journals.mui.ac.ir/jims), Iran Publications database (www.magiran.com), Scientific Information Database website (www.sid.ir) and in Health Researchers website (www.iranmedex.com).

Copyright: All rights reserved, no part may be reproduced without the prior permission of the publisher.